

A. Sedláček

D

201-00

SÚRADNICOVÝ SYSTÉM: S-JTSK

VÝŠKOVÝ SYSTÉM: Bpv

VYPRACOVAL Ing. Róbert MAGYAR	ZODP. PROJEKTANT Ing. Adrián SEDLÁK	HL. INŽ. PROJEKTU Ing. Michal HARČARIK
KONTROLOVAL Ing. Adrián SEDLÁK	OKRES (OBVOD) STAVBY SENEC, VÚC Bratislavský samosprávny kraj	
OBJEDNÁVATEĽ Bratislavský samosprávny kraj, Sabinovská 16, 820 05 Bratislava 25		
PROJEKTANT R-PROJECT INVEST s.r.o., Pečnianska 27, 851 01 Bratislava, tel.: +421 2 555 66 499, www.r-project.sk , r-project@r-project.sk		
STAVBA: PREPOJENIE DIAĽNIČNEJ KRIŽOVATKY TRIBLAVINA S CESTOU III/1059 (50212) CHORVÁTSKY GROB – ČIERNA VODA		STUPEŇ DP,(DRS) –
OBJEKT: MOST PONAD DÁVIDOV KANÁL V km 1.129 MZK		DÁTUM 07.2020 Č.ZÁKAZKY
VÝPOČTY		MIERKA –
		Č.VÝKRESU 003 Č.SÚPRAVY



Obsah

1	Úvod	3
1.1	<i>Popis mostného objektu</i>	3
1.2	<i>Spôsob statického výpočtu</i>	3
1.3	<i>Zoznam výpočtových programov</i>	3
1.4	<i>Zoznam použitých noriem a predpisov</i>	3
2	Materiály.....	4
2.1	<i>Betón</i>	4
2.2	<i>Betonárska výstuž.....</i>	5
2.3	<i>Predpínacia výstuž.....</i>	5
3	Zaťaženie.....	5
3.1	<i>Vlastná tiaž (G_0)</i>	5
3.2	<i>Ostatné stále zaťaženie (G_1)</i>	5
3.2.1	<i>Vozovka (G_{11})</i>	5
3.2.2	<i>Rímsy a mostné príslušenstvo (G_{12})</i>	5
3.3	<i>Nerovnomerný pokles (G_{set})</i>	6
3.4	<i>Pohyblivé zaťaženie (Q)</i>	6
3.4.1	<i>Zaťažovací model LM1 (Q_{LM1})</i>	6
3.4.2	<i>Zaťažovací model LM2 (Q_{LM2})</i>	7
3.4.3	<i>Špeciálne vozidlo (Q_{LM3})</i>	7
3.4.4	<i>Dynamické účinky</i>	7
3.4.5	<i>Zaťaženie na chodníku (Q_{fk})</i>	7
3.4.6	<i>Brzdné a rozjazdové sily (Q_I)</i>	7
3.4.7	<i>Odstredivé sily (Q_t)</i>	8
3.4.8	<i>Únavový zaťažovací model FLM3 (Q_{FLM3})</i>	8
3.4.9	<i>Zaťažovacie skupiny</i>	8
3.5	<i>Zaťaženie vetrom (W)</i>	8
3.6	<i>Teplotné účinky (T)</i>	9
3.6.1	<i>Rovnomerná teplotná zložka (T_N)</i>	9
3.6.2	<i>Teplotný spád (T_M)</i>	9
3.7	<i>Dotvarovanie a zmrašťovanie (G_{cs})</i>	9
3.8	<i>Montážne zaťaženie (Q_{cc})</i>	9
3.9	<i>Trenie na ložiskách (Q_μ)</i>	9
3.10	<i>Seizmické zaťaženie (A_E)</i>	10
3.11	<i>Zemné tlaky na opory</i>	10

4 Kombinácie zatažení.....	11
4.1 Kombinácie pre hornú stavbu.....	12
4.1.1 Medzné stavy používateľnosti	12
4.1.2 Medzné stavy únosnosti	12
4.2 Kombinácie pre spodnú stavbu	12
4.2.1 Medzné stavy únosnosti	12
4.3 Kombinácie zatažení pre seizmicitu.....	13
4.4 Medzné stavy únosnosti – Mimoriadna kombinácia.....	13
5 Nosná konštrukcia	14
6 Spodná stavba.....	15
6.1 Výpočtový model	15
7 Reakcie	22
7.1 Reakcie na ložiská.....	22
7.2 Reakcie na základy	22
8 Seizmicia	23
9 Zakladanie a geotechnické výpočty	23
10 Dilatačné pohyby	23
11 Odvodnenie	24
12 Geometrické výpočty	26
13 Záver.....	26

1 Úvod

Predmetom statického výpočtu je návrh a posúdenie zakladania, spodnej stavby, nosnej konštrukcie a niektorých častí príslušenstva mosta 201, Most ponad Dávidov kanál v km 1,129 MZK, Stavba: Prepojenie diaľničnej križovatky Tríblavina s cestou III/1059 (50212) Chorvátsky Grob – Čierna Voda.

1.1 Popis mostného objektu

Mostný objekt SO 201 je navrhnutý ako samostatný most z jedného dilatačného celku. Nosná konštrukcia mosta sa skladá z tyčových prefabrikátov spojených spriahujúcou doskou. Zo statickej stránky sa jedná o 1-poľový most. Most má 2 opory. V miestach podpier a opôr je nosná konštrukcia uložená na dvojici ložísk. Založenie mosta je navrhnuté hĺbkovo na veľkopriemerových pilótach.

1.2 Spôsob statického výpočtu

Statický výpočet bol robený na viacerých výpočtových modeloch.

- Výpočet vnútorných síl ostatných železobetónových konštrukcií bol robený podľa teórie pružnosti. Statický model konštrukcie pozostával z prútových resp. doskostenových prvkov.
- Dimenzovanie výstuže na medzný stav únosnosti bolo robené zohľadnením pružno-plastického správania betónu a betonárskej výstuže. Únosnosť betónu v tahu sa neuvažovala.
- Dimenzovanie výstuže na medzný stav používateľnosti bolo robené zohľadnením pružného správania betónu a betonárskej výstuže. Únosnosť betónu v tahu sa neuvažovala.

1.3 Zoznam výpočtových programov

V rámci statického výpočtu boli použité viaceré výpočtové programy, pomocou ktorých došlo k výpočtu vnútorných síl a následne posúdeniu kritických prierezov. Zoznam použitých programov:

- Midas Civil – výpočet vnútorných síl a posúdenie kritických prierezov
- IDEA Statica RCS – posúdenie železobetónových prierezov
- MS Office – texty a výpočty
- AutoCAD – grafika a schémy

1.4 Zoznam použitých noriem a predpisov

Statický výpočet je spracovaný v súlade s príslušnými ustanoveniami nasledujúcich noriem a predpisov:

STN EN 1990 Zásady navrhovania konštrukcií

STN EN 1990 r.2009, 1990/A1 r.2006, 1990/A1/NA r.2007, 1990/NA1 r.2009, 1990/A1/AC2 r.2010, 1990/NA/O1 r.2011

STN EN 1991-1-1 Objemová tiaž, vlastná tiaž a úžitkové zaťaženia budov:

STN EN 1991-1-1 r.2007, 1991-1-1/NA r.2004, 1991-1-1/AC r.2009, 1991-1-1/NA/Z1 r.2010

STN EN 1991-1-4 Zaťaženie vetrom

STN EN 1991-1-4 r.2007, 1991-1-4/NA r.2008, 1991-1-4/AC r.2010, 1991-1-4/NA/Z1 r.2010, 1991-1-4/AC2 r.2010, 1991-1-4/A1 r.2010

STN EN 1991-1-5 Zaťaženia účinkami teploty

STN EN 1991-1-5 r.2008, 1991-1-5/NA r.2008, 1991-1-5/AC r.2009

STN EN 1991-1-6 Zaťaženia počas výstavby

STN EN 1991-1-6 r.2008, 1991-1-6/NA r.2008, 1991-1-6/AC r.2008, 1991-1-6/NA/Z1 r.2010, 1991-1-6/AC2 r.2013

STN EN 1991-1-7 Mimoriadne zaťaženia

STN EN 1991-1-7 r.2008, 1991-1-7/NA r.2008, 1991-1-7/AC r.2010, 1991-1-7/O1 r.2010, 1991-1-7/A1 r.2015

STN EN 1991-2 Zaťaženia mostov dopravou

STN EN 1991-2 r.2006, 1991-2/NA r.2007, 1991-2/AC r.2010, 1991-2/NA/O1 r.2011

STN EN 1992-1-1 Navrhovanie betónových konštrukcií. Časť 1-1: Všeobecné pravidlá a pravidlá pre budovy
STN EN 1992-1-1 r.2006, 1992-1-1/NA r.2007, 1992-1-1/AC r.2008, 1992-1-1/AC2 r.2011, 1992-1-1/NA/Z1 r.2013, 1992-1-1/A1 r.2015

STN EN 1992-2 Navrhovanie betónových konštrukcií. Časť 2: Betónové mosty. Navrhovanie a konštruovanie
STN EN 1992-2 r.2007, 1992-2/NA r.2008, 1992-2/AC r.2008, 1992-2/NA/Z1 r.2012

STN EN 1997-1 Eurokód 7. Navrhovanie geotechnických konštrukcií. Časť 1: Všeobecné pravidlá
STN EN 1997-1 r.2005, 1997-1/NA r.2010, 1997-1/AC r.2009, 1997-1/A1 r.2014

STN EN 1997-2 Eurokód 7. Navrhovanie geotechnických konštrukcií. Časť 2: Prieskum a skúšanie horninového prostredia
STN EN 1997-2 r.2008, STN EN 1997-2/NA r.2010, STN EN 1997-2/AC r.2010

STN EN 1998-1 Eurokód 8. Navrhovanie konštrukcií na seismickú odolnosť. Časť 1: Všeobecné pravidlá, seismické zaťaženia
STN EN 1998-1 r.2005, 1998-1/NA r.2009, 1998-1/O1 r.2006, 1998-1/AC r.2009, 1998-1/NA/Z1 r.2010, 1998-1/NA/Z2 r.2012,
1998-1/NA/Z3 r.2012, 1998-1/A1 r.2013

STN EN 1998-2 Eurokód 8. Navrhovanie konštrukcií na seismickú odolnosť. Časť 2: Mosty
STN EN 1998-2 r.2008, 1998-2/NA r.2009, 1998-2/A1 r.2009, 1998-2/AC r.2010, 1998-2/A2 r.2012

STN EN 1998-5 Eurokód 8. Navrhovanie konštrukcií na seismickú odolnosť. Časť 5: Základy, oporné kon. a geotechnické
hl'adiská
STN EN 1998-5 r.2009, STN EN 1998-5/NA r.2010

STN EN 1536 Vykonávanie špeciálnych geotechnických prác. Vŕtané pilóty. STN EN 1536 r.2015

STN 72 1001 Klasifikácie zemín a skalných hornín. STN 72 1001 r.2010, STN 72 1001/O1 r.2011
STN 73 1001 Geotechnické konštrukcie, zakladanie stavieb. STN 73 1002 r.2010

STN 73 1002 Pilótové základy.
STN 73 1002 r.1987, STN 73 1002/Z1 r.2003
STN 73 0037 Zemný tlak na stavebné konštrukcie. STN 73 0037 r.1990

STN 73 3050 Zemné práce. Všeobecné ustanovenia.
STN 73 3050 r.1986, STN 73 3050/a r.1991, STN 73 3050/Z2 r.1999

2 Materiály

2.1 Betón

Špecifikácia betónov nosnej konštrukcie podľa STN EN 206:

- prefabrikované nosníky: podľa špecifikácie výrobku typizovaných nosníkov, predpoklad C45/55 XC4,XD3,XF2 (SK)
- spriahujúca doska, monolitická časť priečnika: podľa špecifikácie výrobku typizovaných nosníkov, predpoklad C35/45 XC4,XD3,XF2 (SK)
- prefabrikovaný podstavec priečnika: C35/45 XC4,XD3,XF2 (SK)

Špecifikácia betónov spodnej stavby podľa STN EN 206:

- podkladný betón: C12/15 X0 (SK)
- driek opory, záverný múrik: C35/45 XC4,XD3,XF4 (SK)
- krídla opôr: C30/37 XC4,XD1,XF2 (SK)
- prechodové dosky: C30/37 XC3,XD2,XF2 (SK)

Špecifikácia betónov pre mostné príslušenstvo podľa STN EN 206:

- rímsy a chodníky: C35/45 XC4,XD3,XF4 (SK)

Pre určenie návrhovej pevnosti betónu bolo uvažované s nasledovnými súčiniteľmi:

- $\alpha_{cc} = 0,85$ - vplyv dlhodobého pôsobenia zaťaženia a nepriaznivých účinkou vyplývajúce zo spôsobu zaťaženia,
- γ_c - parciálny súčiniteľ spoľahlivosti pre betón
= 1,5 – trvalé a dočasné návrhové situácie,
= 1,2 – mimoriadne situácie,
= 1,35 – seismické situácie.

2.2 Betonárska výstuž

Betonárska výstuž B500B, s charakteristickou medzou klzu $f_yk = 500 \text{ MPa}$. Modul pružnosti $E_s = 200 \text{ GPa}$, trieda ťažnosti B.

Pre určenie návrhovej pevnosti výstuže bolo uvažované s nasledovnými súčiniteľmi:

- γ_s - parciálny súčiniteľ spoľahlivosti pre výstuž
= 1,15 – trvalé a dočasné návrhové situácie,
= 1,0 – mimoriadne situácie,
= 1,1 – seismické situácie.

2.3 Predpínacia výstuž

V rámci statického výpočtu sa pre daný stupeň projektovej dokumentácie predpínacia výstuž neposudzuje.

3 Zaťaženie

Zaťaženie je zadávané ako plošné, líniové a bodové zaťaženie vo výpočtových modeloch. Krútiace účinky voči geometrii nosnej konštrukcie je zohľadnené správnou polohou uvažovaných zaťažení v priestorových a plošných výpočtových modeloch.

3.1 Vlastná tiaž (G_0)

Vlastná tiaž konštrukcie bola počítaná s objemovou tiažou vystuženého betónu $\gamma_b = 25 \text{ kN/m}^3$.

Predpokladala sa plocha nosníka $0,25 \text{ m}^2$, počet nosníkov 12 ks a hrúbka spriahajúcej dosky $0,23 \text{ m}$.

3.2 Ostatné stále zaťaženie (G_1)

Ostatné stále zaťaženie je uvažované s dvomi charakteristickými hodnotami:

$$g_{1k,sup} = g_{11k,sup} + g_{12k} = 22,68 + 23,10 = 45,8 \text{ kN/m}$$

$$g_{1k,inf} = g_{11k,inf} + g_{12k} = 12,96 + 23,10 = 36,1 \text{ kN/m}$$

3.2.1 Vozovka (G_{11})

Hrúbka vozovky bola uvažovaná 90 mm, šírka vozovky 8,50 m. Objemová tiaž asfaltobetónu $\gamma_{ab} = 24 \text{ kN/m}^3$.

$$g_{11k,m} = 0,09 \cdot 8,50 \cdot 0,24,0 = 18,4 \text{ kN/m}$$

$$g_{11k,sup} = 1,4 \cdot g_{11k,m} = 25,8 \text{ kN/m}$$

$$g_{11k,inf} = 0,8 \cdot g_{11k,m} = 14,7 \text{ kN/m}$$

3.2.2 Rímsy a mostné príslušenstvo (G_{12})

- plocha betónových ríms: $A_{c1} = 0,7 + 0,5 = 1,20 \text{ m}^2$
- objemová tiaž ŽB: $\gamma_b = 25 \text{ kN/m}^3$
- oceľové zvodidlo: $1,0 \text{ kN/m}$
- systémové odvodnenie: $0,2 \text{ kN/m}$
- oceľové zábradlie: $0,8 \text{ kN/m}$
- $g_{12k} = 25,0,1,20 + 2 \times 1,0 + 0,3 + 0,8 = 33,0 \text{ kN/m}$

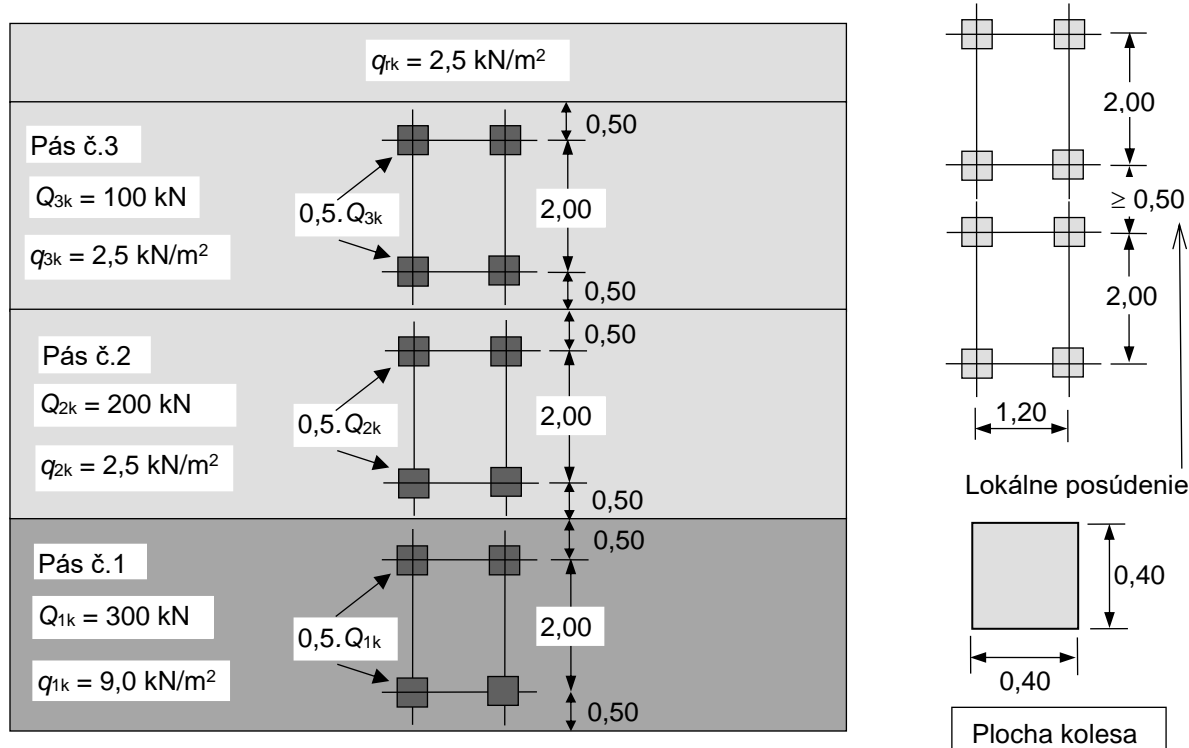
3.3 Nerovnomerný pokles (G_{set})

Ide o prostý nosník. Nemá vplyv na napäťosť.

3.4 Pohyblivé zaťaženie (Q)

3.4.1 Zaťažovací model LM1 (Q_{LM1})

LM1 pozostáva z 3 dvojnápravových vozidiel (Tandem system - TS) s tiažou $2.\alpha_{Qi}Q_{ik}$, a z rovnomerného plošného zaťaženia s intenzitou $\alpha_{qi}q_{ik}$, pozri obr. 3.1.



Obr. 3.1 Zaťaženie od dopravy – Zaťažovacia schéma LM1

Tab. 3.1 Kategorizačné súčinitele α_Q a α_q podľa STN EN 1991-2/NA

Kategória cesty	α_{Q1}	α_{Q2}	α_{Q3}	α_{q1}	$\alpha_{qi} i \geq 2$	α_{qr}
Diaľnice a rýchlostné cesty	0,90	0,90	0,90	0,90	1,00	1,00
Cesty I., II. a III. triedy	0,90	0,90	0,90	0,90	1,00	1,00
Miestne a účelové komunikácie	0,90	0,60	0,60	0,60	1,00	1,00

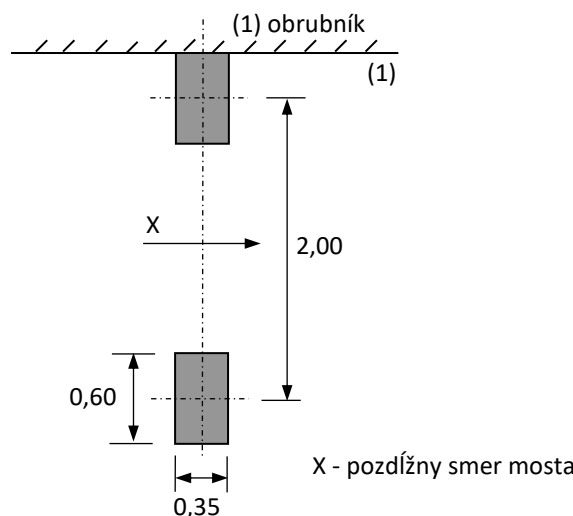
Voľná šírka na moste je 8,50 m (od zvodidla po zvodidlo). Na moste sú 2 jazdné pásy šírky 3,0 m a zostatková plocha šírky 2,50 m. Uvažuje sa s použitím 2 dvoj-nápravových vozidiel. Na základe charakteru mosta a prevádzanej komunikácie, bolo zaťaženie od dopravy upravené kategorizačnými súčiniteľmi α_{Q_1} , α_q s hodnotou **0,9**. Predpokladá sa, že sa nejedná o most na osobitne určenej trase.

$$Q_{TS} = 2 \cdot \alpha_{Q_1} Q_{1k} + 2 \cdot \alpha_q Q_{2k} = 2 \cdot 0,9 \cdot 300 + 2 \cdot 0,9 \cdot 200 = 900 \text{ kN}$$

$$q_{UDL} = 3,0 \text{m} \cdot \alpha_q q_{1k} + (B - 3,0 \text{m}) \cdot \alpha_q q_{2k} = 3,0 \cdot 0,9 \cdot 0,9 + (8,50 - 3,0) \cdot 1,0 \cdot 0,2,5 = 38,05 \text{ kN/m}$$

3.4.2 Zaťažovací model LM2 (Q_{LM2})

Zaťažovacia schéma LM2 reprezentuje jednonápravové zaťaženie, pozri obr. 3.2. Tiaž tejto nápravy je $\beta_Q Q_{ak}$, kde $Q_{ak} = 400 \text{ kN}$ a $\beta_Q = 1,0$, podľa STN EN 1991-2/NA . LM2 sa používa pre lokálne posúdenia nosnej konštrukcie. Podľa NA sa kontaktná plocha kolesa môže uvažovať štvorcová s rozmermi $0,40 \times 0,40 \text{ m}$.



Obr. 3.2 Zaťaženie od dopravy – Zaťažovací model LM2

3.4.3 Špeciálne vozidlo (Q_{LM3})

Špeciálne vozidlo nebolo uvažované.

3.4.4 Dynamické účinky

Dynamické účinky sú zahrnuté v tiaži príslušného zaťažovacieho modelu.

3.4.5 Zaťaženie na chodníku (Q_{fk})

Na mostnom objekte sa nachádza chodník šírky 1,50 m. Rovnomerné plošné zaťaženie na chodníku bolo uvažované s intenzitou $q_{fwk} = 3 \text{ kN/m}^2$ pre prípady kombinácie s dopravou.

$$q_{CH} = 1,5 \text{ m} \cdot q_{fwk} = 1,5 \cdot 3,0 = 4,5 \text{ kN/m}$$

3.4.6 Brzdné a rozjazdové sily (Q_I)

Brzdné a rozjazdové sily pôsobia na povrchu vozovky v pozdĺžnom smere mosta. Maximálna hodnota je 900 kN.

$$Q_{Ik} = 0,6 \cdot 2 \cdot \alpha_{Q_1} Q_{1k} + 0,1 \cdot \alpha_{q_1} q_{1k} w_1 \cdot L = 0,6 \cdot 2 \cdot 0,9 \cdot 300 + 0,1 \cdot 0,9 \cdot 0,9 \cdot 15,75 = 324 + 39 = 363 \text{ kN} < 900 \text{ kN}$$

$$Q_{Ik} = 363 \text{ kN}$$

kde L je dĺžka mosta,
 w_1 je šírka zaťažovacieho pásu č.1.

3.4.7 Odstredivé sily (Q_t)

Polomer pôdorysného zakrivenia: prechodnica $r = 350$ m.

Tiaž dvojnápravových vozidiel:

$$Q_v = Q_{TS} = 2 \cdot \alpha_{Q1} Q_{1k} + 2 \cdot \alpha_{Q2} Q_{2k} = 2 \cdot 0,9 \cdot (300 + 200) = 900 \text{ kN}$$

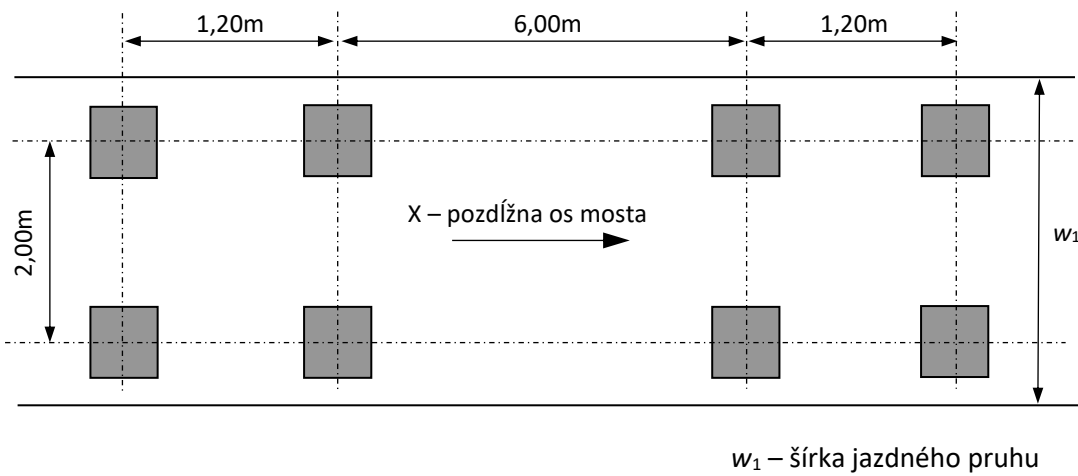
$$\text{Odstredivá sila } Q_{tk} = 40 \cdot 900 / 350 = 103 \text{ kN}$$

Tab. 3.2 Charakteristické hodnoty odstredivých síl

$Q_{tk} = 0,2 \cdot Q_v \text{ (kN)}$	ak $r < 200$ m
$Q_{tk} = 40 \cdot Q_v / r \text{ (kN)}$	ak $200 \text{ m} \leq r \leq 1500 \text{ m}$
$Q_{tk} = 0 \text{ kN}$	ak $r > 1500 \text{ m}$

3.4.8 Únavový zaťažovací model FLM3 (Q_{FLM3})

Zaťažovacia schéma FLM3 bola použitá pre únavové overenie pozdĺžnej a šmykovej výstuže nosnej konštrukcie. Zaťaženie pozostáva zo 4 náprav, pričom každá má tiaž 120 kN. Zaťaženie sa pohybuje v osi skutočných jazdných pásov.



w_1 – šírka jazdného pruhu

Obr. 3.4 Únavový zaťažovací model FLM3

3.4.9 Zaťažovacie skupiny

Zaťažovacia skupina sk1a: Zvislé ($Q_{LM1,k} + q_{fk}$)

Zaťažovacia skupina sk1b: Zvislé ($Q_{LM2,k}$)

Zaťažovacia skupina sk2: Zvislé ($\psi_1 \cdot Q_{LM1,k}$) + Vodorovné ($Q_{lk} + Q_{tk}$)

Zaťažovacia skupina sk3: Zvislé (q_{fk}) – neuvažuje sa, menšie účinky ako sk1a

Zaťažovacia skupina sk4: Zvislé ($Q_{LM4,k} + q_{fk}$) – neuvažuje sa, menšie účinky ako sk1a

Zaťažovacia skupina sk5: Zvislé ($Q_{LM3,k}$) – neuvažuje sa, so špeciálnym vozidlom

3.5 Zaťaženie vetrom (W)

Hodnota základnej rýchlosi vetra pre oblasť Bratislavu: $v_{b0} = 26,0 \text{ m.s}^{-1}$

Súčiniteľ smerovosti a sezónnosti: $c_{dir} \cdot c_{season} = 1,0$

Základná rýchlosť vetra: $v_b = v_{b0} \cdot c_{dir} \cdot c_{season} = 26,0 \cdot 1,0 \cdot 1,0 = 26,0 \text{ m.s}^{-1}$

Základná rýchlosť vetra v kombinácii s cestnou dopravou: $v_b^* = 23 \text{ m/s}$

Súčinitele sily v smere X – všeobecná metóda

$d_{tot} = 1,2 + 1,2 = 2,40 \text{ m}$ $b = 11,7 \text{ m}$ $b/d_{tot} = 11,7/2,40 = 4,875 \rightarrow c_{fx,0} = 1,05$

Súčiniteľ vystavenia vetru: $c_e = 2,7$ (typ terénu I, $z_{max} = 8,5 \text{ m}$)

Súčiniteľ zaťaženia vetrom: $C = c_e \cdot c_{fx,0} = 2,7 \cdot 1,05 = 2,8$

Hustota vzduchu: $\rho = 1,25 \text{ kg/m}^3$

Referenčná náveterová plocha: $A_{ref,x} = A_1 + A_2 + A_3 + A_4 = 23,6 + 31,5 + 14,2 = 69,3 \text{ m}^2$

- obrys nosnej konštrukcie: $A_1 = 15,75 \text{ m} \times 1,5 \text{ m} = 23,6 \text{ m}^2$

- obrys cestnej dopravy: $A_2 = 15,75 \text{ m} \times 2,0 \text{ m} = 31,5 \text{ m}^2$

- obrys otvorených parapetov: $A_3 = 15,75,0 \text{ m} \times 3,0,3 \text{ m} = 14,2 \text{ m}^2$

Tlak vetra, celkový (priečny): $F_{wk,x} = 0,5 \cdot C \cdot \rho \cdot (v_b^*)^2 \cdot A_{ref,x} = 0,5 \cdot 2,8 \cdot 1,25 \cdot 23^2 \cdot 69,3 = 65 \text{ kN}$

Tlak vetra, líniové zaťaženie (priečny): $f_{wk,x} = F_{wk,x} / L = 65 \text{ kN} / 15,75 \text{ m} = 4,07 \text{ kN/m}$

Účinky pozdĺžneho vetra reprezentujú 25% účinkov priečneho vetra:

$$F_{wk,y} = 0,25 \cdot F_{wk,x} = 0,25 \cdot 65 = 16,25 \text{ kN}$$

3.6 Teplotné účinky (T)

Súčiniteľ teplotnej roztažnosti pre betón a výstuž bol uvažovaný $\alpha_{ct} = 10 \cdot 10^{-6} \text{ K}^{-1}$.

3.6.1 Rovnomerná teplotná zložka (T_N)

Počiatočná teplota mosta bola predpokladaná $T_0 = 10^\circ\text{C}$ na základe odporúčania STN EN 1991-1-5.

Odcítaním z mapy teplotných izoterm podľa STN EN 1991-1-5/NA je:

Maximálna teplota vzduchu $T_{max} = 40^\circ\text{C} \rightarrow T_{e,max} = T_{max} + 2^\circ\text{C} = 42^\circ\text{C}$

Minimálna teplota vzduchu $T_{min} = -24^\circ\text{C} \rightarrow T_{e,min} = T_{min} + 8^\circ\text{C} = -16^\circ\text{C}$

3.6.2 Teplotný spád (T_M)

Ide o prostý nosník. Nemá vplyv na napätosť.

3.7 Dotvarovanie a zmrašťovanie (G_{cs})

Pre horizontálne skrátenie mosta od účinkov zmrašťovania a dotvarovania vyvolaného predpäťím, boli použité reologické modely podľa STN EN 1992-1-1 Príloha B.

Boli použité nasledovné predpoklady:

- Betón triedy C45/55
- Relatívna vlhkosť 70 %
- Cement s normálnou začiatočnou pevnosťou CEM 42,5 N

3.8 Montážne zaťaženie (Q_{cc})

Počas výstavby bolo uvažované s charakteristickým premenným montážnym zaťažením s hodnotou 0,5 kN/m^2 .

3.9 Trenie na ložiskách (Q_μ)

Súčiniteľ trenia na ložiskách bol uvažovaný $\mu = 0,04$. Horizontálne sily boli stanovené pre reakcie spôsobené od všetkých stálych zaťažení plus príslušné zaťaženia od dopravy uvažované v častej kombinačnej hodnote.

3.10 Seizmické zaťaženie (A_E)

Návrhové spektrá odozvy boli určené podľa tab. 3.3, pričom sa uvažovalo s nasledujúcimi vstupnými údajmi:

Referenčné špičkové seizmické zrýchlenie a_{gR} pre kategóriu podložia A: $a_{gR} = 0,63 \text{ m/s}^2$

Súčinieľ významnosti pre triedu dôležitosti CC2: $\gamma = 1,0$

Kategória podložia: D

Návrhové seizmické zrýchlenie: $a_g = \gamma \cdot a_{gR} = 1,0 \cdot 0,63 = 0,63 \text{ m/s}^2$

Tab. 3.3 Súčinieľ podložia S a hraničné períody T pre spektrum horizontálnej pružnej odozvy pre územie

Slovenska podľa STN EN 1998-1/NA

Kategória podložia a maximum pomerného spektra	S	$T_B \text{ (s)}$	$T_C \text{ (s)}$	$T_D \text{ (s)}$
A 2,4	1,0	0,1	0,33	1,25
B 2,42	1,1	0,11	0,64	2,0
C ... 2,50	1,25	0,125	1,0	3,0
D ... 3,00	1,5	0,125	1,25	4,0
E = Bx1,22,90	1,32	0,11	0,64	2,0

3.11 Zemné tlaky na opory

Zásyp bol uvažovaný s objemovou tiažou $\gamma_z = 20 \text{ kN/m}^3$ a uhlom vnútorného trenia $\varphi_k = 30^\circ$.

4 Kombinácie zaťažení

Všeobecné pravidlá pre kombinácie zaťažení cestných mostov:

- zaťaženie snehom a vetrom sa nemusia uvažovať súčasne so zaťaženiami vyvolanými stavebnými aktivitami Q_{ca} ,
- zaťaženia snehom a vetrom sa nemusia kombinovať so zaťažovacou skupinou sk2, sk3 a sk4,
- zaťaženia snehom sa nemusia kombinovať so zaťažovacou skupinou sk1a a sk1b,
- zaťaženie vetrom väčšie ako menšia z hodnôt F_w^* a $\psi_0 \cdot F_{wk}$ sa nemá kombinovať so zaťažovacou skupinou sk1a,
- zaťaženie vetrom a zaťaženie účinkami teploty sa nemusia uvažovať ako súčasne pôsobiace.

V statickom výpočte sú použité kombinačné pravidlá pre MSÚ podľa vzťahu 6.10 STN EN 1990 s ohľadom na Národnú prílohu (tab. A1.2(B)):

$$\sum_j \gamma_{Gj,sup} G_{kj,sup} + \sum_j \gamma_{Gj,inf} G_{kj,inf} + \gamma_p P_m(t) + \gamma_{Q,i} Q_{ki} + \sum_{i \geq 2} \gamma_{Q,i} \psi_{0i} Q_{ki}$$

Kombinačné pravidlá pre MSP, charakteristická kombinácia:

$$\sum_j G_{kj,sup} + \sum_j G_{kj,inf} + P_k + Q_{k1} + \sum_{i \geq 2} \psi_{0i} Q_{ki}$$

Kombinačné pravidlá pre MSP, menej častá kombinácia:

$$\sum_i G_{ki,sup} + \sum_j G_{kj,inf} + P_k + \psi_{1,infq} Q_{k1} + \sum_{i \geq 2} \psi_{1,i} Q_{ki}$$

Kombinačné pravidlá pre MSP, častá kombinácia:

$$\sum_j G_{kj,sup} + \sum_j G_{kj,inf} + P_k + \psi_{1,1} Q_{k1} + \sum_{i \geq 2} \psi_{2,i} Q_{ki}$$

Kombinačné pravidlá pre MSP, kvázi-stála kombinácia:

$$\sum_j G_{kj,sup} + \sum_j G_{kj,inf} + P_k + \psi_{2,1} Q_{k1} + \sum_{i \geq 2} \psi_{2,i} Q_{ki}$$

Tab. 4.1 Hodnoty súčiniteľov pre mosty pozemných komunikácií

Zaťaženie	Označenie	ψ_0	$\psi_{1,infq}$	ψ_1	ψ_2
Zaťaženie dopravou podľa EN 1991-2	gr1a (LM1 + chodci + + cyklisti) ¹	TS	0,75	0,8	0,75
		UDL	0,4	0,8	0,4
		chodci a cyklisti ²	0,4	0,8	0,4
	gr1b (jednonápravové zaťaženie)	0	0,8	0,75	0
	gr2 (horizontálne sily)	0	0	0	0
	gr3 (zaťaženie chodníkov)	0	0,8	0	0
	gr4 (LM4 – dav ľudí)	0	0,8	0,75	0
	gr5 (LM5 – špeciálne vozidlá)	0	0	0	0
Vietor	F_{wk} – trvalé návrhové situácie	0,6	0,6	0,2	0
	– montáž	0,8	-	-	0
	F_{wk}^*	1,0	1,0	-	-
Teplota	T_k	0,6 ³⁾	0,8	0,6	0,5

Sneh	$Q_{S_n,k}$	0,8	-	-	-
Montážne	Q_c	1,0	-	-	1,0

¹⁾ Odporučané hodnoty ψ pre gr1a a gr1b sú definované pre cesty s dopravným zaťažením stanoveným so súčiniteľmi α_{Q_0} , α_{q_1} , α_{qr} a β_q rovným hodnote 1.

²⁾ Kombináčna hodnota zaťaženia od chodcov a cyklistov je redukovaná hodnota a súčinitele ψ_0 a ψ_1 sa vzťahujú na túto redukovanú hodnotu.

³⁾ Pre väčšinu prípadov hodnota kombináčného súčinitela ψ_0 môže byť redukovaná na 0 pre medzné stavy únosnosti EQU, STR a GEO.

4.1 Kombinácie pre hornú stavbu

4.1.1 Medzné stavy používateľnosti

Kvázi-stála kombinácia: $G_{0k}(t) + G_{1k} + G_{set} + P_k(t) + 0,5.T_M$

Častá kombinácia: $G_{0k}(t) + G_{1k} + G_{set} + P_k(t) + 0,75.Q_{TS} + 0,40.Q_{udl} + 0,5.T_M$

Charakteristická kombinácia: $G_{0k}(t) + G_{1k} + G_{set} + P_k(t) + Q_{TS} + Q_{udl} + Q_{fwk} + 0,6.T_M$
 $G_{0k}(t) + G_{1k} + G_{set} + P_k(t) + Q_{LM3} + Q_{fwk} + 0,6.T_M$

4.1.2 Medzné stavy únosnosti

$1,35.[G_{0k}(t) + G_{1k,sup}] + 1,2.G_{set} + \gamma_p P_m(t) + 1,35.[Q_{TS} + Q_{udl} + Q_{fwk}] + 1,5.0,6.T_M$

$1,0.[G_{0k}(t) + G_{1k,inf}] + 1,2.G_{set} + \gamma_p P_m(t) + 1,35.[Q_{TS} + Q_{udl} + Q_{fwk}] + 1,5.0,6.T_M$

$1,35.[G_{0k}(t) + G_{1k,sup}] + 1,2.G_{set} + \gamma_p P_m(t) + 1,35.[Q_{LM3} + Q_{fwk}] + 1,5.0,6.T_M$

$1,0.[G_{0k}(t) + G_{1k,inf}] + 1,2.G_{set} + \gamma_p P_m(t) + 1,35.[Q_{LM3} + Q_{fwk}] + 1,5.0,6.T_M$

Kde: $G_{0k}(t)$ je účinok od vlastnej tiaže konštrukcie

$P_k(t)$ - účinok od predpäťia, charakteristická hodnota, $P_k(t) = P_{k,sup}(t) = 1,1.P_m(t)$

$P_k(t) = P_{k,inf}(t) = 0,9.P_m(t)$

$P_m(t)$ – účinok od predpäťia, stredná hodnota

T_M – teplotné účinky, teplotný spád

γ_p - parciálny súčinatel' pre predpätie $\gamma_p = \gamma_{pfav} = 1,0$ alebo $\gamma_p = \gamma_{punfav} = 1,2$

G_{set} – nerovnomerné sadnutie podpier

Q_{TS} – účinky od dopravy - tandem system (TS),

Q_{udl} – účinky od dopravy – rovnomerné plošné zaťaženie (UDL)

Q_{LM3} – účinky od dopravy – špeciálne vozidlo

Q_{fwk} – zaťaženie na chodníku

Poznámka: Účinky od teploty T_M môžu byť zanedbané $\gamma_Q = 0$ pre overenie ohybovej odolnosti.

4.2 Kombinácie pre spodnú stavbu

4.2.1 Medzné stavy únosnosti

$1,35.[G_{0k}(t) + G_{1k,sup}] + 1,2.G_{set} + \gamma_p P_m(t) + 1,35.[Q_{TS} + Q_{udl} + Q_{fwk}] + 1,5.0,6.T_M$ (alternatívne 1,5.1,0. F_w^*)

$1,0.[G_{0k}(t) + G_{1k,inf}] + 1,2.G_{set} + \gamma_p P_m(t) + 1,35.[Q_{TS} + Q_{udl} + Q_{fwk}] + 1,5.0,6.T_M$ (alternatívne 1,5.1,0. F_w^*)

$1,35.[G_{0k}(t) + G_{1k,sup}] + 1,2.G_{set} + \gamma_p P_m(t) + 1,35.[Q_{LM3} + Q_{fwk}] + 1,5.0,6.T_M$ (alternatívne 1,5.1,0. F_w^*)

$1,0.[G_{0k}(t) + G_{1k,inf}] + 1,2.G_{set} + \gamma_p P_m(t) + 1,35.[Q_{LM3} + Q_{fwk}] + 1,5.0,6.T_M$ (alternatívne 1,5.1,0. F_w^*)

Kde: $G_{0k}(t)$ je účinok od vlastnej tiaže konštrukcie

$P_k(t)$ - účinok od predpäťia, charakteristická hodnota, $P_k(t) = P_{k,sup}(t) = 1,1.P_m(t)$

$$P_k(t) = P_{k,\inf}(t) = 0,9 \cdot P_m(t)$$

$P_m(t)$ – účinok od predpäťia, stredná hodnota

T_M – teplotné účinky, teplotný spád

F_w^* – zaťaženie vetrom, kombinačná hodnota so zaťažením od dopravy

γ_p - parciálny súčinitel pre predpäťie $\gamma_p = \gamma_{pfav} = 1,0$ alebo $\gamma_p = \gamma_{punfav} = 1,2$

G_{set} – nerovnomerné sadnutie podpier

Q_{TS} – účinky od dopravy - tandem system (TS),

Q_{UDL} – účinky od dopravy – rovnomerné plošné zaťaženie (UDL)

Q_{LM3} – účinky od dopravy – špeciálne vozidlo

Q_{fwk} – zaťaženie na chodníku

4.3 Kombinácie zaťažení pre seizmicitu

Návrhové kombinácie s uvážením seizmického zaťaženia boli vypočítané s použitím nasledujúcich kombinácií zaťažení:

$$\gamma_G(G_{0k} + G_{1k,sup}) + \gamma_l (\pm A_{E,priec} \pm 0,30 \cdot A_{E,pozdi})$$

$$\gamma_G(G_{0k} + G_{1k,sup}) + \gamma_l (\pm 0,30 \cdot A_{E,priec} \pm A_{E,pozdi})$$

Kde: G_{0k} sú účinky od vlastnej tiaže konštrukcie;

$G_{1k,sup}$ – účinky od tiaže zvršku horný fraktil;

$A_{E,pozdi}$ – účinky seizmického zaťaženia v pozdĺžnom smere;

$A_{E,priec}$ – účinky seizmického zaťaženia v priečnom smere;

γ_G – parciálny súčiniteľ spoľahlivosti stáleho zaťaženia $\gamma_G = 1,0$;

γ_l – súčiniteľ významnosti konštrukcie, $\gamma_l = 1,0$.

4.4 Medzné stavy únosnosti – Mimoriadna kombinácia

$$\gamma_{G\inf/\sup} \cdot G_k + \gamma_{p,\inf/\sup} \cdot P_m(t) + A_d + \psi_{1,1} \cdot Q_{k1} + \psi_{2,i} \cdot Q_{k,i}$$

Kde: A_d – návrhová hodnota od mimoriadneho zaťaženia

$Q_{k,1}$ – podstatne sprievodné premenné zaťaženie

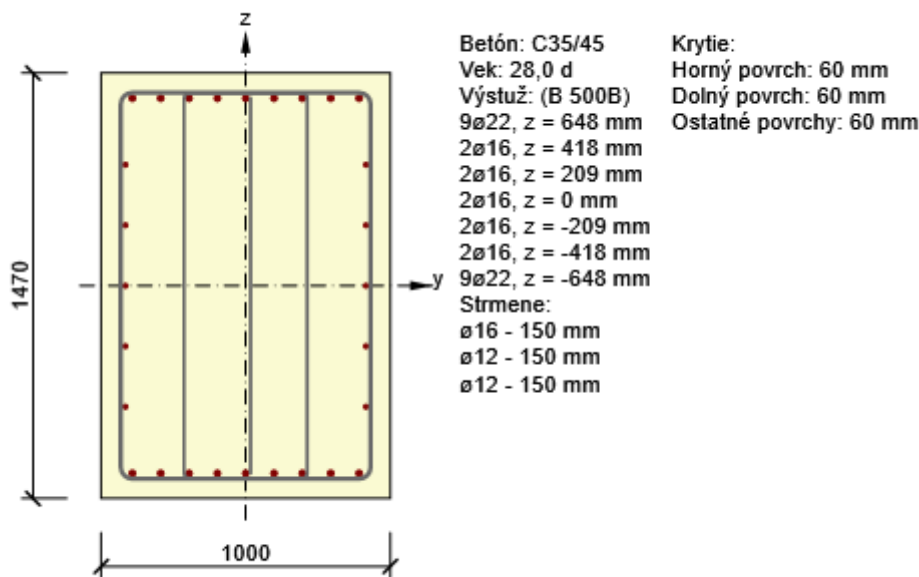
5 Nosná konštrukcia

Poznámka : V stupni dokumentácie DP (DRS) sa výpočet nosníkov (posúdenie betónu, betonárska a predpínacia vystuž) nedokladá. Daná časť statického výpočtu bude doplnená pred výstavbou mosta, keď bude definovaný typ prefabrikátov. Návrh vystuženia priahajúcej dosky a priečnikov dokazuje len reálnosť návrhu. Po výbere konkrétneho typu prefabrikátu musí byť výstuž do spriahajúcej dosky a priečnika nanovo posúdená.

Dimenzovanie priečnika na vnútorné sily:

Krajný priečnik		N	Vy	Vz	Mx	My	Mz
Zodpovedajúce účinky		kN	kN	kN	kN.m	kN.m	kN.m
min	Vz	0	0	-1524	3	-1066	0
min	Mx	0	0	351	-642	831	0
min	My	0	0	1251	342	-1627	0
max	Vz	0	0	1551	32	-1205	0
max	Mx	0	0	190	633	574	0
max	My	0	0	-36	7	2093	0

Posúdenie v programe Idea Statica:



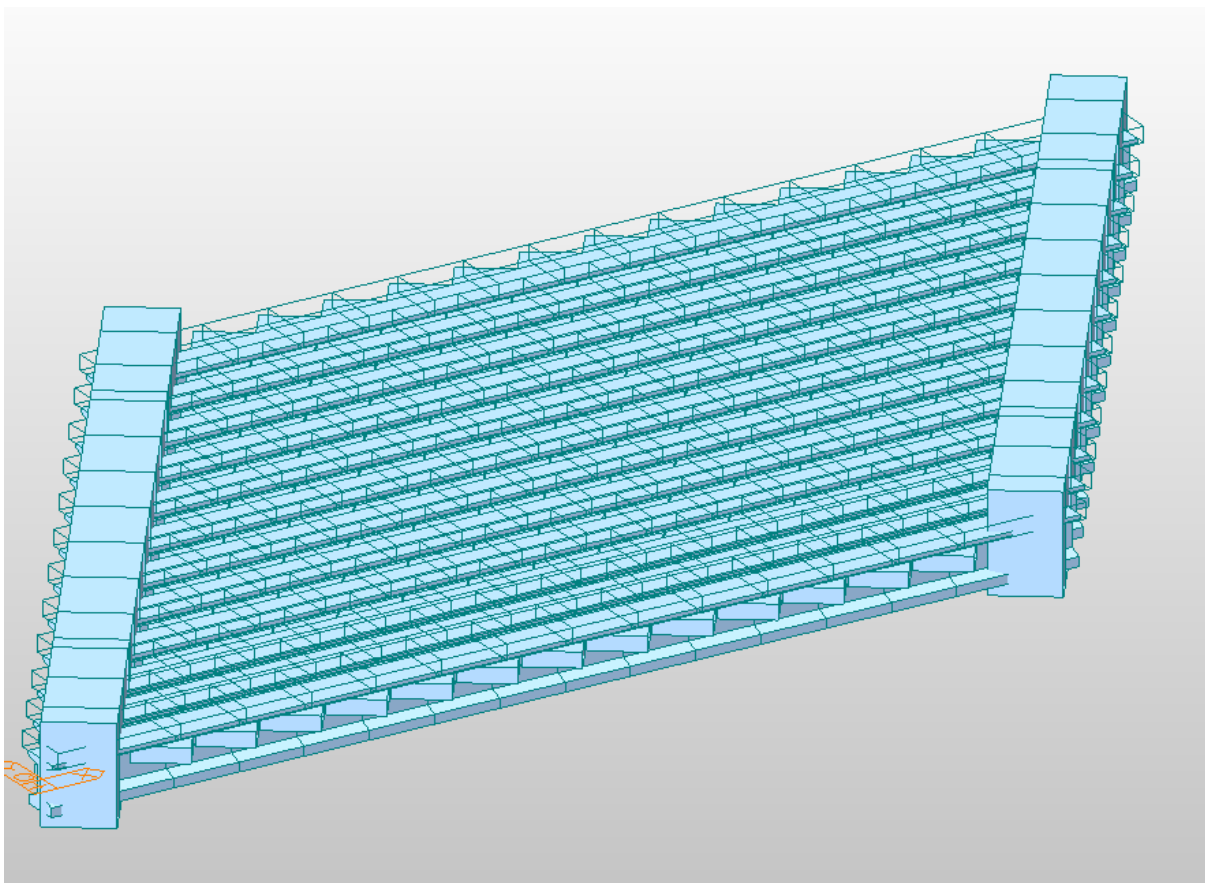
Typ posudku	N _{Ed} [kN]	M _{Ed,y} [kNm]	M _{Ed,z} [kNm]	V _{Ed} [kN]	T _{Ed} [kNm]	Využitie [%]	Posudok
Únosnosť N-M-M	0,0	-1066,2	0,0			41,5	OK
Šmyk	0,0			1523,7	3,2	53,9	OK
Krútenie					3,2	0,3	OK
Interakcia	0,0	-1066,2	0,0	1523,7	3,2	95,6	OK

6 Spodná stavba

Vnútorné sily na spodnú stavbu boli počítané na globálnom modeli, ktorý bol vytvorený z prútových prvkov – rošťový model.

6.1 Výpočtový model

Globálny model nosnej konštrukcie a spodnej stavby bol robený v programe Midas Civil 2015. Dokument uvádza základné údaje o modeli.



Výpočtový model

Materiály

Properties				
Material				
ID	Name	Type	Standard	DB
1	C45/55	Concrete	EN04(RC)	C45/55
2	C30/37	Concrete	EN04(RC)	C30/37
3	C30/37-bezTiaze	User Def.		

Prierezy

Tabuľka 1 : Doska

A(m^2)	Asy(m^2)	Asz(m^2)	z(+)(m)	z(-)(m)
0.184	0.153	0.153	0.115	0.115
Ixx(m^4)	Iyy(m^4)	Izz(m^4)	y(+)(m)	y(-)(m)
0.003	0.001	0.010	0.400	0.400

Tabuľka 2 : Priecnik-Krajny

A(m^2)	Asy(m^2)	Asz(m^2)	z(+)(m)	z(-)(m)
1.500	1.250	1.250	0.750	0.750
Ixx(m^4)	Iyy(m^4)	Izz(m^4)	y(+)(m)	y(-)(m)
0.293	0.281	0.125	0.500	0.500

Tabuľka 3 : Idoska

Before Composite					After Composite				
A(m^2)	Asy(m^2)	Asz(m^2)	z(+)(m)	z(-)(m)	A(m^2)	Asy(m^2)	Asz(m^2)	z(+)(m)	z(-)(m)
0.236	0.168	0.123	0.399	0.351	0.423	0.324	0.279	0.171	0.579
Ixx(m^4)	Iyy(m^4)	Izz(m^4)	y(+)(m)	y(-)(m)	Ixx(m^4)	Iyy(m^4)	Izz(m^4)	y(+)(m)	y(-)(m)
0.003	0.016	0.004	0.300	0.300	0.004	0.044	0.016	0.300	0.300
-	-	-	-	-	Es/Ec	Gs/Gc	Ds/Dc	Ps	Pc
-	-	-	-	-	1.105	1.105	1.000	0.200	0.200

< Node >

NO	X	Y	Z	TEMPERATURE	1	16.03	0.4	0	0
					2	0.2801	0.4	0	0

3	17.15	2	0	0		118	12.28	2	0	0
4	1.4	2	0	0		119	11.28	2	0	0
5	17.82	2.95	0	0		120	10.28	2	0	0
6	2.066	2.95	0	0		121	9.275	2	0	0
7	18.48	3.9	0	0		122	8.275	2	0	0
8	2.731	3.9	0	0		123	7.275	2	0	0
9	19.15	4.85	0	0		124	6.275	2	0	0
10	3.396	4.85	0	0		125	5.275	2	0	0
11	19.81	5.8	0	0		126	4.275	2	0	0
12	4.061	5.8	0	0		127	3.275	2	0	0
13	20.48	6.75	0	0		128	2.025	2	0	0
14	4.726	6.75	0	0		129	17.19	2.95	0	0
15	21.14	7.7	0	0		130	15.94	2.95	0	0
16	5.392	7.7	0	0		131	14.94	2.95	0	0
17	21.81	8.65	0	0		132	13.94	2.95	0	0
18	6.057	8.65	0	0		133	12.94	2.95	0	0
19	22.47	9.6	0	0		134	11.94	2.95	0	0
20	6.722	9.6	0	0		135	10.94	2.95	0	0
21	16.59	1.2	0	0		136	9.941	2.95	0	0
22	0.8402	1.2	0	0		137	8.941	2.95	0	0
23	23.1	10.5	0	0		138	7.941	2.95	0	0
24	7.352	10.5	0	0		139	6.941	2.95	0	0
27	0.625	0	0	0		140	5.941	2.95	0	0
28	8.432	11.15	0	0		141	4.941	2.95	0	0
29	15.12	0	0	0		142	3.941	2.95	0	0
30	22.93	11.15	0	0		143	2.691	2.95	0	0
33	7.875	0	0	0		144	17.86	3.9	0	0
34	15.68	11.15	0	0		145	16.61	3.9	0	0
35	8.875	0	0	0		146	15.61	3.9	0	0
36	16.68	11.15	0	0		147	14.61	3.9	0	0
37	9.875	0	0	0		148	13.61	3.9	0	0
38	17.68	11.15	0	0		149	12.61	3.9	0	0
39	10.87	0	0	0		150	11.61	3.9	0	0
40	18.68	11.15	0	0		151	10.61	3.9	0	0
41	11.88	2.328e-010	0	0		152	9.606	3.9	0	0
42	19.68	11.15	0	0		153	8.606	3.9	0	0
43	12.88	0	0	0		154	7.606	3.9	0	0
44	20.68	11.15	0	0		155	6.606	3.9	0	0
45	13.88	0	0	0		156	5.606	3.9	0	0
46	21.68	11.15	0	0		157	4.606	3.9	0	0
47	1.875	0	0	0		158	3.356	3.9	0	0
48	9.682	11.15	0	0		159	18.52	4.85	0	0
49	2.875	0	0	0		160	17.27	4.85	0	0
50	10.68	11.15	0	0		161	16.27	4.85	0	0
51	3.875	0	0	0		162	15.27	4.85	0	0
52	11.68	11.15	0	0		163	14.27	4.85	0	0
53	4.875	0	0	0		164	13.27	4.85	0	0
54	12.68	11.15	0	0		165	12.27	4.85	0	0
55	5.875	2.328e-010	0	0		166	11.27	4.85	0	0
56	13.68	11.15	0	0		167	10.27	4.85	0	0
57	6.875	0	0	0		168	9.271	4.85	0	0
58	14.68	11.15	0	0		169	8.271	4.85	0	0
99	15.41	0.4	0	0		170	7.271	4.85	0	0
100	14.16	0.4	0	0		171	6.271	4.85	0	0
101	13.16	0.4	0	0		172	5.271	4.85	0	0
102	12.16	0.4	0	0		173	4.021	4.85	0	0
103	11.16	0.4	0	0		174	19.19	5.8	0	0
104	10.16	0.4	0	0		175	17.94	5.8	0	0
105	9.155	0.4	0	0		176	16.94	5.8	0	0
106	8.155	0.4	0	0		177	15.94	5.8	0	0
107	7.155	0.4	0	0		178	14.94	5.8	0	0
108	6.155	0.4	0	0		179	13.94	5.8	0	0
109	5.155	0.4	0	0		180	12.94	5.8	0	0
110	4.155	0.4	0	0		181	11.94	5.8	0	0
111	3.155	0.4	0	0		182	10.94	5.8	0	0
112	2.155	0.4	0	0		183	9.936	5.8	0	0
113	0.9051	0.4	0	0		184	8.936	5.8	0	0
114	16.53	2	0	0		185	7.936	5.8	0	0
115	15.28	2	0	0		186	6.936	5.8	0	0
116	14.28	2	0	0		187	5.936	5.8	0	0
117	13.28	2	0	0		188	4.686	5.8	0	0

189	19.85	6.75	0	0		237	18.6	9.6	0	0
190	18.6	6.75	0	0		238	17.6	9.6	0	0
191	17.6	6.75	0	0		239	16.6	9.6	0	0
192	16.6	6.75	0	0		240	15.6	9.6	0	0
193	15.6	6.75	0	0		241	14.6	9.6	0	0
194	14.6	6.75	0	0		242	13.6	9.6	0	0
195	13.6	6.75	0	0		243	12.6	9.6	0	0
196	12.6	6.75	0	0		244	11.6	9.6	0	0
197	11.6	6.75	0	0		245	10.6	9.6	0	0
198	10.6	6.75	0	0		246	9.597	9.6	0	0
199	9.601	6.75	0	0		247	8.597	9.6	0	0
200	8.601	6.75	0	0		248	7.347	9.6	0	0
201	7.601	6.75	0	0		249	15.97	1.2	0	0
202	6.601	6.75	0	0		250	14.72	1.2	0	0
203	5.351	6.75	0	0		251	13.72	1.2	0	0
204	20.52	7.7	0	0		252	12.72	1.2	0	0
205	19.27	7.7	0	0		253	11.72	1.2	0	0
206	18.27	7.7	0	0		254	10.72	1.2	0	0
207	17.27	7.7	0	0		255	9.715	1.2	0	0
208	16.27	7.7	0	0		256	8.715	1.2	0	0
209	15.27	7.7	0	0		257	7.715	1.2	0	0
210	14.27	7.7	0	0		258	6.715	1.2	0	0
211	13.27	7.7	0	0		259	5.715	1.2	0	0
212	12.27	7.7	0	0		260	4.715	1.2	0	0
213	11.27	7.7	0	0		261	3.715	1.2	0	0
214	10.27	7.7	0	0		262	2.715	1.2	0	0
215	9.267	7.7	0	0		263	1.465	1.2	0	0
216	8.267	7.7	0	0		264	22.48	10.5	0	0
217	7.267	7.7	0	0		265	21.23	10.5	0	0
218	6.017	7.7	0	0		266	20.23	10.5	0	0
219	21.18	8.65	0	0		267	19.23	10.5	0	0
220	19.93	8.65	0	0		268	18.23	10.5	0	0
221	18.93	8.65	0	0		269	17.23	10.5	0	0
222	17.93	8.65	0	0		270	16.23	10.5	0	0
223	16.93	8.65	0	0		271	15.23	10.5	0	0
224	15.93	8.65	0	0		272	14.23	10.5	0	0
225	14.93	8.65	0	0		273	13.23	10.5	0	0
226	13.93	8.65	0	0		274	12.23	10.5	0	0
227	12.93	8.65	0	0		275	11.23	10.5	0	0
228	11.93	8.65	0	0		276	10.23	10.5	0	0
229	10.93	8.65	0	0		277	9.227	10.5	0	0
230	9.932	8.65	0	0		278	7.977	10.5	0	0
231	8.932	8.65	0	0		281	6.857	8.9	0	0
232	7.932	8.65	0	0		282	2.2	2.25	0	0
233	6.682	8.65	0	0		283	16.7	2.25	0	0
234	21.85	9.6	0	0		284	21.36	8.9	0	0
235	20.6	9.6	0	0						
236	19.6	9.6	0	0						

< Boundary >

NODE	SUPPORT	SPECIFIED DISPLACEMENT					
		DDDRRR	Dx	Dy	Dz	Rx	Ry
281	101000	0.0000	0.0000	0.0000	0.0000	0.0000	0.0000
282	111000	0.0000	0.0000	0.0000	0.0000	0.0000	0.0000
283	011000	0.0000	0.0000	0.0000	0.0000	0.0000	0.0000
284	001000	0.0000	0.0000	0.0000	0.0000	0.0000	0.0000

< Beam >

NO	NODAL CONNECTIVITY	BEAM END RELEASE	MATERIAL	SECTION	LENGTH			C45/55	Idoska	0.625
					6	11	174			
1	1	99	-	C45/55	Idoska	0.625	7	13	189	-
2	3	114	-	C45/55	Idoska	0.625	8	15	204	-
3	5	129	-	C45/55	Idoska	0.625	9	17	219	-
4	7	144	-	C45/55	Idoska	0.625	10	19	234	-
5	9	159	-	C45/55	Idoska	0.625	11	21	249	-
								C45/55	Idoska	0.625

395	257	258	-	-	C45/55	Idoska	1		429	276	277	-	-	C45/55	Idoska	1
396	258	259	-	-	C45/55	Idoska	1		430	277	278	-	-	C45/55	Idoska	1.25
397	259	260	-	-	C45/55	Idoska	1		431	278	24	-	-	C45/55	Idoska	0.625
398	260	261	-	-	C45/55	Idoska	1		432	264	30	-	-	C30/37 Priecnik-Krajny		0.7935
399	261	262	-	-	C45/55	Idoska	1		433	265	46	-	-	C30/37-bezTiaze	Doska	0.7935
400	262	263	-	-	C45/55	Idoska	1.25		434	266	44	-	-	C30/37-bezTiaze	Doska	0.7935
401	263	22	-	-	C45/55	Idoska	0.625		435	267	42	-	-	C30/37-bezTiaze	Doska	0.7935
402	249	114	-	-	C30/37 Priecnik-Krajny		0.9766		436	268	40	-	-	C30/37-bezTiaze	Doska	0.7935
403	250	115	-	-	C30/37-bezTiaze	Doska	0.9766		437	269	38	-	-	C30/37-bezTiaze	Doska	0.7935
404	251	116	-	-	C30/37-bezTiaze	Doska	0.9766		438	270	36	-	-	C30/37-bezTiaze	Doska	0.7935
405	252	117	-	-	C30/37-bezTiaze	Doska	0.9766		439	271	34	-	-	C30/37-bezTiaze	Doska	0.7935
406	253	118	-	-	C30/37-bezTiaze	Doska	0.9766		440	272	58	-	-	C30/37-bezTiaze	Doska	0.7935
407	254	119	-	-	C30/37-bezTiaze	Doska	0.9766		441	273	56	-	-	C30/37-bezTiaze	Doska	0.7935
408	255	120	-	-	C30/37-bezTiaze	Doska	0.9766		442	274	54	-	-	C30/37-bezTiaze	Doska	0.7935
409	256	121	-	-	C30/37-bezTiaze	Doska	0.9766		443	275	52	-	-	C30/37-bezTiaze	Doska	0.7935
410	257	122	-	-	C30/37-bezTiaze	Doska	0.9766		444	276	50	-	-	C30/37-bezTiaze	Doska	0.7935
411	258	123	-	-	C30/37-bezTiaze	Doska	0.9766		445	277	48	-	-	C30/37-bezTiaze	Doska	0.7935
412	259	124	-	-	C30/37-bezTiaze	Doska	0.9766		446	278	28	-	-	C30/37 Priecnik-Krajny		0.7935
413	260	125	-	-	C30/37-bezTiaze	Doska	0.9766		452	281	248	-	-	C30/37 Priecnik-Krajny		0.8545
414	261	126	-	-	C30/37-bezTiaze	Doska	0.9766		454	282	143	-	-	C30/37 Priecnik-Krajny		0.8545
415	262	127	-	-	C30/37-bezTiaze	Doska	0.9766		456	283	129	-	-	C30/37 Priecnik-Krajny		0.8545
416	263	128	-	-	C30/37 Priecnik-Krajny		0.9766		458	284	234	-	-	C30/37 Priecnik-Krajny		0.8545
417	264	265	-	-	C45/55	Idoska	1.25									
418	265	266	-	-	C45/55	Idoska	1									
419	266	267	-	-	C45/55	Idoska	1									
420	267	268	-	-	C45/55	Idoska	1									
421	268	269	-	-	C45/55	Idoska	1									
422	269	270	-	-	C45/55	Idoska	1									
423	270	271	-	-	C45/55	Idoska	1									
424	271	272	-	-	C45/55	Idoska	1									
425	272	273	-	-	C45/55	Idoska	1									
426	273	274	-	-	C45/55	Idoska	1									
427	274	275	-	-	C45/55	Idoska	1									
428	275	276	-	-	C45/55	Idoska	1									

7 Reakcie

7.1 Reakcie na ložiská

Podpera	Ložisko	Typ	Maximálna zvislá sila		Seizmická sila		Posuny
			ULS-B	SLS-Char	Fx	Fy	
			kN	kN	kN	kN	
1	L	J*	2700	1900	450	-	-
	P	P	2700	1900	450	600	-
2	L	V	2700	1900	-	-	16
	P	J	2700	1900	-	400	16

Prehľad parametrov ložísk

7.2 Reakcie na základy

Výsledky sú v mieste spodnej hrany ložísk v osi mosta, vodorovné sily a momenty sú orientované v smere mosta.

Opora 1		Zvislo	Priečne	Rovnob.	M.pozdl	M.kolmo
		kN	kN	kN	kN.m	kN.m
SLS-Char	Axial	-1944	39	460	-94	-134
	Moment	-3018	39	460	1415	2018
	Axial	-3124	39	460	-106	-152
	Moment	-2597	39	460	-1069	-1526
ULS-B	Axial	-2624	59	620	-127	-181
	Moment	-4074	59	620	1910	2725
	Axial	-4217	59	620	-144	-206
	Moment	-3507	59	620	-1443	-2060
Seizmická	Smer x	-2000	400	230	0	0
	Smer y	-2000	120	800	0	0

Opora 2		Zvislo	Priečne	Rovnob.	M.pozdl	M.kolmo
		kN	kN	kN	kN.m	kN.m
SLS-Char	Axial	-1944	39	100	-244	-349
	Moment	-2914	39	100	1358	1938
	Axial	-3143	39	100	1085	1549
	Moment	-2651	39	100	-1285	-1834
ULS-B	Axial	-2624	59	135	-330	-471
	Moment	-3934	59	135	1834	2617
	Axial	-4243	59	135	1465	2090
	Moment	-3579	59	135	-1735	-2476
Seizmická	Smer y	-2000	400	0	0	0

8 Seizmicita

Výpočet seizmických účinkov bol robený na zjednodušenom modeli, predpokladá sa konzervatívny výpočet na maximálne možné účinky.

Výpočet seizmických účinkov bude potrebné aktualizovať pred výstavbou mosta, nakoľko hmotnosť nosnej konštrukcie má vplyv na veľkosť zaťaženia.

Referenčné špičkové seizmické zrýchlenie a_{gR} pre kategóriu podložia A: $a_{gR} = 0,63 \text{ m/s}^2$

Súčiniteľ významnosti pre triedu dôležitosti CC2: $\gamma_1 = 1,0$

Kategória podložia: D

Návrhové seizmické zrýchlenie: $a_g = \gamma_1 \cdot a_{gR} = 1,0 \cdot 0,63 = 0,63 \text{ m/s}^2$

Maximálna hodnota poradnice seizmického spektra: 3,0

Predpokladaná hmotnosť nosnej konštrukcie: 4000 kN = 400 ton

$$F = m \cdot a_g \cdot S_{\max} = 400\,000 \cdot 0,63 \cdot 3 = 756 \text{ kN}$$

Pozdĺžne na oporu 1: 756 kN

Priečne na oporu 1 a 2: $756 / 2 = 378 \text{ kN}$

Seizmicita v smere x: = Fx „+“ 0,3 . Fy

Seizmicita v smere y: = Fy „+“ 0,3 . Fx

Seismická kombinácia	Fx	Fy
Opora 1, smer x	756 kN	113 kN
Opora 1, smer y	227 kN	378 kN
Opora 2, smer y	-	378 kN

9 Zakladanie a geotechnické výpočty

Návrh a posúdenie zakladania je uvedený v samostatnej prílohe č.1 : Zakladanie a geotechnické výpočty

10 Dilatačné pohyby

Dilatačné pohyby nosnej konštrukcie, boli určené empirický (pozn.: podrobný výpočet bude súčasťou realizačnej dokumentácie).:

Pre návrh ložísk a MZ: $2,0 \text{ mm} / 1 \text{ bm} \dots 2,0 \text{ mm/m} \cdot 16 \text{ m} / 2 = 16 \text{ mm}$

11 Odvodnenie

NÁVRH A POSÚDENIE ODVODNENIA MOSTA

Výpočet hltnosti odvodňovačov

Zadané :

$a := 330 \text{ mm}$...navrhnutá šírka odvodňovača
$x_0 := 25 \text{ mm}$...vzdialosť odvodňovača od obrubníka
$B := 1,0 \text{ m}$...šírka rozliatia
$q := 4,5 \%$...priečny spád
$s_0 := 1,4 \%$...pozdĺžny spád
$n := 0,017$...súčinieľ drsností

- výpočet hltnosti :

$$h := B \cdot q \quad h = 0,045 \text{ m} \quad \dots \text{výška vody pri obrubníku}$$

$$A := \frac{1}{2} \cdot B \cdot h \quad A = 0,0225 \text{ m}^2 \quad \dots \text{plocha vody v rigole}$$

$$O := B + h \quad O = 1,045 \text{ m} \quad \dots \text{omočený obvod}$$

$$R := \frac{A}{O} \quad R = 0,0215 \text{ m} \quad \dots \text{hydraulický polomer}$$

$$C := \frac{\frac{1}{6}}{\frac{n}{R}} \quad C = 31,0262 \quad \dots \text{rýchlosný súčinieľ}$$

$$v := C \cdot \sqrt{R \cdot s_0} \cdot \sqrt{m \cdot s}^{-1} \quad v = 0,5387 \text{ m s}^{-1} \quad \dots \text{rýchlosť na vtoku}$$

$$Q := A \cdot v \quad Q = 12,1202 \text{ l s}^{-1} \quad \dots \text{množstvo vody pretekajúcim rigolom}$$

$$h_{1x} := \left(B - x_0 - \frac{a}{2} \right) \cdot q \quad h_{1x} = 0,0365 \text{ m} \quad \dots \text{výška vody v osi odvodňovača}$$

$$v_x := v \cdot 1,15 \quad v_x = 0,6195 \text{ m s}^{-1} \quad \dots \text{rýchlosť vody na povrchu}$$

$$h_1 := h_{1x} \quad h_1 = 0,0365 \text{ m} \quad \dots \text{výška vody v osi odvodňovača}$$

$$k := \frac{5}{v} \text{ m s}^{-1} \quad k = 9,2821 \quad \dots \text{súčinieľ bočného nátoku}$$

$$\alpha_1 := k \cdot h_1 + a + x_0 \quad \alpha_1 = 0,6933 \text{ m} \quad \dots \text{spolopôsobiaca šírka}$$

$$\phi h_1 := \left(B - \frac{\alpha_1}{2} \right) \cdot q \quad \phi h_1 = 0,0294 \text{ m} \quad \dots \text{priemerná výška vody}$$

$$A_1 := \alpha_1 \cdot \phi h_1 \quad A_1 = 0,0204 \text{ m}^2 \quad \dots \text{plocha vodnej vrstvy pritekajúca k odvodňovaču}$$

$$H := A_1 \cdot v \quad H = 10,9803 \text{ l s}^{-1} \quad \dots \text{množstvo vody vtekajúce do odvodňovača (hltnosť)}$$

$$Q_3 := Q - H \quad Q_3 = 1,1399 \text{ l s}^{-1} \quad \dots \text{množstvo vody obtekajúce odvodňovač}$$

$$\xi := \frac{H}{Q} \quad \xi = 90,5954 \% \quad \dots \text{pomerná hltnosť odvodňovača}$$

Rozmiestnenie odvodňovačov a výpočet potrubia

Na moste uvažujeme odvodnenie pomocou systémového potrubného odvodnenia, ktoré pozostáva z odvodňovačov so zaústovacím potrubím a pozdĺžnej odvodňovacej rúry. Odvodňovače dimenzujeme na prívalovú intenzitu dažďa v trvaní 10min.s periodicitou 0,5 a náležitou rezervou prieskových plôch, pre ich prípadné upchatie a tým aj zmenšenie.

$$q := 0,0200 \cdot \frac{1}{\text{s m}^2} \quad \dots \text{návrhová intenzita dažďa}$$

$$Q_0 := 10,9 \cdot \frac{1}{\text{s}} \quad \dots \text{hltnosť navrhnutého odvodňovača}$$

$$\xi_1 := 0,9 \quad \dots \text{súčinatel' odtoku}$$

$$\xi_2 := 2 \quad \dots \text{koficient bezpečnosti}$$

$$B := 11,7 \text{ m} \quad \dots \text{odvodňovacia šírka na moste}$$

$$n := 0,017 \quad \dots \text{stupeň drsnosti materiálu zberného potrubia}$$

- maximálna vzdialenosť odvodňovačov :

$$L_{max} := \frac{Q_0}{\xi_1 \cdot \xi_2 \cdot q \cdot B} \quad L_{max} = 25,8784 \text{ m}$$

$$L_0 := 6 \text{ m} \quad \dots \text{navrhnutá vzdialenosť odvodňovačov}$$

- výpočet priemeru zberného potrubia :

$$i_- := 1,6 \% \quad \dots \text{hydraulický sklon zberného potrubia}$$

$$L_{odvod,m} := 16,0 \text{ m} \quad \dots \text{odvodňovacia dĺžka mosta - smer opora 1}$$

$$Y := 1,5 \cdot \sqrt{n} \quad y = 0,1956 \quad \dots \text{mocniteľ}$$

$$Q_{max} := L_{odvod,m} \cdot B \cdot q \quad Q_{max} = 3,744 \frac{1}{\text{s}} \quad \dots \text{prieskové množstvo vody na konci mosta}$$

$$D_m := \left(\frac{Q_{max} \cdot \frac{\text{s}}{3} \cdot n \cdot 4^{Y+1,5}}{\pi \cdot \sqrt{i_-}} \right)^{\frac{1}{Y+2,5}} \quad D_m = 93,4736 \text{ mm} \quad \dots \text{minimálny priemer zberného potrubiana konci mosta}$$

12 Geometrické výpočty

Most nekrižuje komunikáciu, z toho dôvodu nebolo otrebné realizovať geometrické výpočty.

13 Záver

Statický výpočet mosta (zakladanie, spodná stavba, nosná konštrukcia a príslušenstvo) bol vypočítaný na sústavy noriem STN EN s platnými národnými prílohami, resp. ostatných platných noriem STN. V rámci statického výpočtu **všetky preverené posudky vyhoveli** na medzný stav únosnosti ako aj medzný stav použiteľnosti.

Kompletná digitálna verzia statického výpočtu vrátane jeho kontroly je archivovaná v spoločnosti R-PROJECT INVEST, s.r.o. Pečnianska 27, 851 01, Bratislava.

Predpokladaná zaťažiteľnosť mosta v zmysle TP104:

Zaťažiteľnosť	Normálna	Výhradná	Výnimcočná
ton	32	90	300

V Bratislave, 07.2020

Ing. Adrián SEDLÁK a kolektív

Návrh zakladania objektu SO 201.

Popis inžinierskogeologických vrtov:

Vrt č.1, H=129,50 m.n.m.

0,0 – 0,3m	ornica
0,3 – 1,1m	íl so strednou plasticitou, hnedý, konzistencia pevná, kvartér (F6 Cl)
1,1 – 2,5m	íl piesčitý, sivý, konzistencia pevná, kvartér (F4 CS)
2,5 – 5,2m	piesok ílovitý, sivožltý, konzistencia mäkká, kvartér (S5 SC)
5,2 – 6,8m	íl s vysokou plasticitou, s vrstvičkami siltu s vysokou plasticitou, sivomodrý, konzistencia tuhá, neogén (F8 CH)
6,8 – 10,0m	íl piesčitý, sivomodrý, konzistencia pevná, obsah ostrohranných úlomkov siltovca Ø max. 0,5cm, neogén (F4 CS)
10,0 – 10,8m	íl piesčitý, svetlosivomodrý, konzistencia pevná, zvodnený, neogén, (F4 CS)
10,8 – 12,2m	piesok ílovitý, modrosivý, konzistencia pevná, zvodnený, neogén (S5 SC)
12,2 – 16,0m	íl s vysokou plasticitou, sivý, konzistencia pevná, obsah úlomkov ílovca Ø max. 0,5cm, neogén (F8 CH)
16,0 – 16,5m	íl so strednou plasticitou, sivočierny konzistencia pevná, obsah úlomkov ílovca Ø max. 0,5cm, neogén (F6 Cl)
16,5 – 20,0m	piesok ílovitý, tmavosivý, konzistencia pevná, spevnený neogén (S5 SC)

Narazená hladina podzemnej vody : I. horizont 2,4m p.t.

II. horizont 10,8m p.t.

Ustálená hladina podzemnej vody : 2,1m p.t.

Pevnostné parametre zemín vstupujúce do výpočtov:

0,0 – 1,1m 1_8_F6/Cl, konzistencia pevná

$\varphi_{ef} = 19^\circ$, $c_{ef} = 14$ kPa, $E_{def} = 7$ MPa, $\gamma_z = 21$ kN.m⁻³

1,1 – 2,5m 2_5_F4/CS, konzistencia pevná

$\varphi_{ef} = 24^\circ$, $c_{ef} = 16$ kPa, $E_{def} = 8$ MPa, $\gamma_z = 18,5$ kN.m⁻³

2,5 – 5,2m 3_S5/SC, konzistencia mäkká

$\varphi_{ef} = 26^\circ$, $c_{ef} = 4$ kPa, $E_{def} = 6$ MPa, $\gamma_z = 18,5$ kN.m⁻³

5,2 – 6,8m 4_F8/CH, konzistencia tuhá

$\varphi_{\text{ef}} = 14^\circ$, $c_{\text{ef}} = 6 \text{ kPa}$, $E_{\text{def}} = 3 \text{ MPa}$, $\gamma_z = 20,5 \text{ kN.m}^{-3}$

6,8 – 10,8m 2_5_F4/CS, konzistencia pevná

$\varphi_{\text{ef}} = 24^\circ$, $c_{\text{ef}} = 16 \text{ kPa}$, $E_{\text{def}} = 8 \text{ MPa}$, $\gamma_z = 18,5 \text{ kN.m}^{-3}$

10,8 – 12,2m 6_9_S5/SC, konzistencia pevná

$\varphi_{\text{ef}} = 27^\circ$, $c_{\text{ef}} = 6 \text{ kPa}$, $E_{\text{def}} = 10 \text{ MPa}$, $\gamma_z = 18,5 \text{ kN.m}^{-3}$

12,2 – 16,0m 7_F8/CH, konzistencia pevná,

$\varphi_{\text{ef}} = 15^\circ$, $c_{\text{ef}} = 10 \text{ kPa}$, $E_{\text{def}} = 6 \text{ MPa}$, $\gamma_z = 20,5 \text{ kN.m}^{-3}$

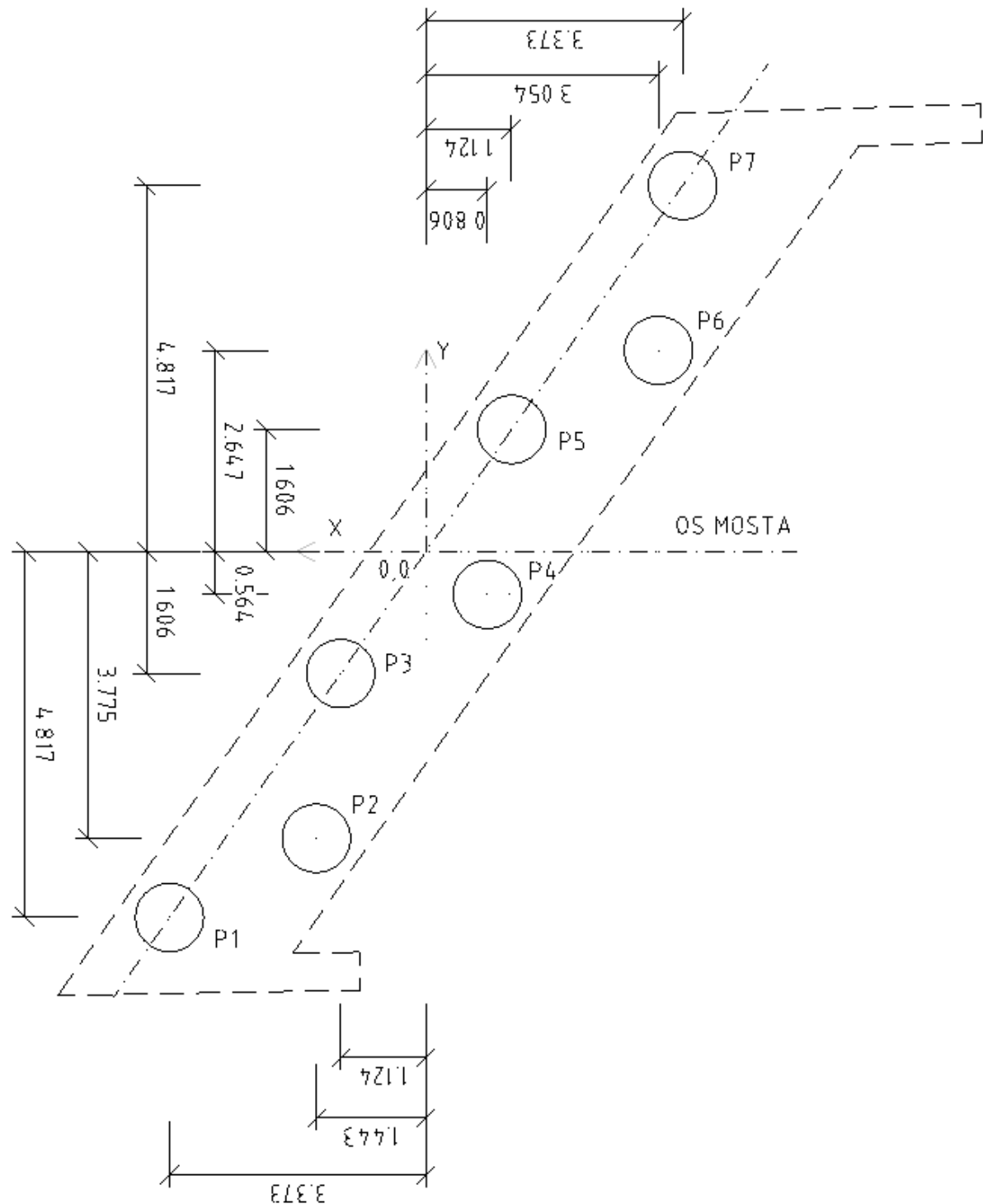
16,0 – 16,5m 1_8_F6/CI, konzistencia pevná

$\varphi_{\text{ef}} = 19^\circ$, $c_{\text{ef}} = 14 \text{ kPa}$, $E_{\text{def}} = 7 \text{ MPa}$, $\gamma_z = 21 \text{ kN.m}^{-3}$

16,5 – 20,0m 6_9_S5/SC, konzistencia pevná

$\varphi_{\text{ef}} = 27^\circ$, $c_{\text{ef}} = 6 \text{ kPa}$, $E_{\text{def}} = 10 \text{ MPa}$, $\gamma_z = 18,5 \text{ kN.m}^{-3}$

Schéma rozmiestnenia pilót:



PrerozdeLENIE SÍL NA PILÓTY:

SO 201-00: PREROZDELENIE SÍL NA PILÓTY (opory 1 a 2)

Predmetom výpočtu je určiť najviac namáhanú pilótu základu opôr. Na základ pôsobia aj ohybové (krútiace) momenty, ktoré zapríčinujú excentrické namáhanie základu a pilót.

Návrhové sily pôsobia v úrovni hornej hrany ložísk. Výpočtové sily sú bez tiaže úložného prahu, krídel, tlaku zásypu.

Návrhové momenty je potrebné zváčšiť o vplyv horizontálnych sôl pôsobiacich v úrovni ložísk. Sily je nevyhnutné preniesť do hlavy pilót.

Tiaž úložného prahu:

$$A_{pr} := 8.14 \text{ m}^2 \quad L_{pr} := 14.3 \text{ m} \quad \gamma_{be} := 25 \text{ kN} \cdot \text{m}^{-3}$$

$$G_{pr} := A_{pr} \cdot L_{pr} \cdot \gamma_{be} \quad G_{pr} = 2910.05 \text{ kN}$$

$$\text{Výpočtová tiaž prahu:} \quad G_{prV} := G_{pr} \cdot 1.3 \quad G_{prV} = 3783.07 \text{ kN}$$

Tiaž krídel (2 ks):

$$A_{kr} := 10.8 \text{ m}^2 \quad L_{kr} := 0.5 \text{ m}$$

$$G_{kr} := A_{kr} \cdot L_{kr} \cdot \gamma_{be} \cdot 2 \quad G_{kr} = 270 \text{ kN}$$

$$\text{Výpočtová tiaž krídel:} \quad G_{krV} := G_{kr} \cdot 1.3 \quad G_{krV} = 351 \text{ kN}$$

Zväčenie vertikálnej sily o silu

$$V_z := G_{pr} + G_{kr} \quad V_z = 3180.05 \text{ kN}$$

$$V_{zV} := G_{prV} + G_{krV} \quad V_{zV} = 4134.065 \text{ kN}$$

Tlak zeminy v kľúde. Zásyp bude realizovaný zo zemín G3, G1. Objemová tiaž 21 kN/m³, uhol vnútorného trenia minimálne 34 stupňov, c = 0 kPa.

$$K_r := 1 - \sin(34\text{deg}) \quad K_r = 0.441$$

$$h_p := 4.7 \text{ m} \quad \gamma_z := 21 \text{ kN} \cdot \text{m}^{-3}$$

$$F_h := \frac{1}{2} \cdot \gamma_z \cdot h_p^2 \cdot K_r \quad F_h = 102.243 \frac{1}{\text{m}} \text{ kN}$$

Celková sila (výpočtová) od tlaku zásypu bude (jej pôsobisko je v 1/3 výšky):

$$F_{hC} := F_h \cdot L_{pr} \cdot 1.3 \quad F_{hC} = 1900.7 \text{ kN} \quad R_h := 1.57 \text{ m}$$

Zväčšenie sily o šikmosť 35 stupňov.

$$F_{ht} := \frac{F_{hc}}{\cos(35\deg)} \quad F_{ht} = 2320.32 \text{ kN}$$

Osová vzdialenosť pilót minimálna ($d + 0,5 \text{ m}$, obyčajne $1,5 d$)

Sily pôsobiace na ložiská (kombinácia ULS-B):

$$F_V := 4074 \text{ kN}$$

$$F_x := 620 \text{ kN}$$

$$F_y := 59 \text{ kN}$$

$$M_x := 2725 \text{ kN}\cdot\text{m}$$

$$M_y := 1910 \text{ kN}\cdot\text{m}$$

rameno pôsobiacich horizontálnych síl ku hlavám pilót. $2,35 \text{ m} + 0,4 \text{ m} = 2,75 \text{ m}$

$$r_F := 2.75 \text{ m}$$

$$M_{x2} := r_F \cdot F_y \quad M_{x2} = 162.25 \text{ kN}\cdot\text{m}$$

$$M_{y2} := r_F \cdot F_x \quad M_{y2} = 1705 \text{ kN}\cdot\text{m}$$

$$M_{y3} := F_{ht} \cdot R_h \quad M_{y3} = 3642.91 \text{ kN}\cdot\text{m}$$

$$F_{x2} := F_{ht} \quad F_{x2} = 2320.32 \text{ kN}$$

Výsledné sily:

$$V_U := F_V + V_{zV} \quad V_U = 8208.07 \text{ kN}$$

$$M_{XU} := M_x + M_{x2} \quad M_{XU} = 2887.25 \text{ kN}\cdot\text{m}$$

$$M_{YU} := M_y + M_{y2} + M_{y3} \quad M_{YU} = 7257.91 \text{ kN}\cdot\text{m}$$

$$F_{xU} := F_x + F_{x2} \quad F_{xU} = 2940.32 \text{ kN}$$

$$F_{yU} := F_y \quad F_{yU} = 59 \text{ kN}$$

A) ULS-B:

1) Kombinácia : Moment

Výpočet zaťaženia:

Maximálna reakcia pôsobiaca na pilóty v základovej škáre:

$$V_{de} := 8209 \text{ kN}$$

Výpočet vnútorných sil:

Maximálna zvislá síla pôsobiaca v mieste uloženia nosnej konštrukcie (úroveň hlavy pilót):

$$V_{de} = 8209 \text{ kN}$$

Ohybový moment okolo osi „x (pozdĺžny smer - os mosta)"

$$M_{xD} := -2887.3 \text{ kN}\cdot\text{m} \quad M_{xD} = -2887.3 \text{ kN}\cdot\text{m}$$

Ohybový moment okolo osi „y (priečny smer na most)"

$$M_{yD} := 7258 \text{ kN}\cdot\text{m} \quad M_{yD} = 7258 \text{ kN}\cdot\text{m}$$

Excentricity :

$$e_1 := \frac{M_{xD}}{V_{de}} \quad e_1 = -351.7 \text{ mm}$$

$$e_2 := \frac{M_{yD}}{V_{de}} \quad e_2 = 884.2 \text{ mm}$$

Súradnice umiestnenia pilót pod základom:

$$P1: \quad x_{p1} := 3373 \text{ mm} \quad y_{p1} := -4817 \text{ mm}$$

$$P2: \quad x_{p2} := 1443 \text{ mm} \quad y_{p2} := -3775 \text{ mm}$$

$$P3: \quad x_{p3} := 1124 \text{ mm} \quad y_{p3} := -1606 \text{ mm}$$

$$P4: \quad x_{p4} := -806 \text{ mm} \quad y_{p4} := -564 \text{ mm}$$

$$P5: \quad x_{p5} := -1124 \text{ mm} \quad y_{p5} := 1606 \text{ mm}$$

$$P6: \quad x_{p6} := -3054\text{mm} \quad y_{p6} := 2647\text{mm}$$

$$P7: \quad x_{p7} := -3373\text{mm} \quad y_{p7} := 4817\text{mm}$$

Prerozdelenie pôsobenia vnútorných síl na jednotlivé pilóty:

$n := 7$ počet pilót pod základom

$$\text{SumaX1} := x_{p1}^2 + x_{p2}^2 + x_{p3}^2 + x_{p4}^2 + x_{p5}^2 + x_{p6}^2 + x_{p7}^2$$

$$\text{SumaX1} = 37.34\text{m}^2$$

$$\text{SumaX} := \text{SumaX1}$$

$$\text{SumaX} = 37.34\text{m}^2$$

$$\text{SumaY1} := y_{p1}^2 + y_{p2}^2 + y_{p3}^2 + y_{p4}^2 + y_{p5}^2 + y_{p6}^2 + y_{p7}^2$$

$$\text{SumaY1} = 73.141\text{m}^2$$

$$\text{SumaY} := \text{SumaY1}$$

$$\text{SumaY} = 73.141\text{m}^2$$

Jednotlivé sily do pilót sa vypočítajú:

$$P_1 := V_{de} \cdot \left[\left(\frac{1}{n} \right) + \left(e_2 \cdot \frac{x_{p1}}{\text{SumaX}} \right) + \left(e_1 \cdot \frac{y_{p1}}{\text{SumaY}} \right) \right] \quad P_1 = 2018.5\text{kN}$$

$$P_2 := V_{de} \cdot \left[\left(\frac{1}{n} \right) + \left(e_2 \cdot \frac{x_{p2}}{\text{SumaX}} \right) + \left(e_1 \cdot \frac{y_{p2}}{\text{SumaY}} \right) \right] \quad P_2 = 1602.22\text{kN}$$

$$P_3 := V_{de} \cdot \left[\left(\frac{1}{n} \right) + \left(e_2 \cdot \frac{x_{p3}}{\text{SumaX}} \right) + \left(e_1 \cdot \frac{y_{p3}}{\text{SumaY}} \right) \right] \quad P_3 = 1454.59\text{kN}$$

$$P_4 := V_{de} \cdot \left[\left(\frac{1}{n} \right) + \left(e_2 \cdot \frac{x_{p4}}{\text{SumaX}} \right) + \left(e_1 \cdot \frac{y_{p4}}{\text{SumaY}} \right) \right] \quad P_4 = 1038.31\text{kN}$$

$$P_5 := V_{de} \cdot \left[\left(\frac{1}{n} \right) + \left(e_2 \cdot \frac{x_{p5}}{\text{SumaX}} \right) + \left(e_1 \cdot \frac{y_{p5}}{\text{SumaY}} \right) \right] \quad P_5 = 890.84\text{kN}$$

$$P_6 := V_{de} \cdot \left[\left(\frac{1}{n} \right) + \left(e_2 \cdot \frac{x_{p6}}{\text{SumaX}} \right) + \left(e_1 \cdot \frac{y_{p6}}{\text{SumaY}} \right) \right] \quad P_6 = 474.59 \text{ kN}$$

$$P_7 := V_{de} \cdot \left[\left(\frac{1}{n} \right) + \left(e_2 \cdot \frac{x_{p7}}{\text{SumaX}} \right) + \left(e_1 \cdot \frac{y_{p7}}{\text{SumaY}} \right) \right] \quad P_7 = 326.93 \text{ kN}$$

B) SLS-Char:

Tiaž úložného prahu:

$$A_{pr} := 8.14 \text{ m}^2 \quad L_{pr} := 14.3 \text{ m} \quad \gamma_{be} := 25 \text{ kN} \cdot \text{m}^{-3}$$

$$G_{pr} := A_{pr} \cdot L_{pr} \cdot \gamma_{be} \quad G_{pr} = 2910.05 \text{ kN}$$

Tiaž krídel (2 ks):

$$A_{kr} := 10.8 \text{ m}^2 \quad L_{kr} := 0.5 \text{ m}$$

$$G_{kr} := A_{kr} \cdot L_{kr} \cdot \gamma_{be} \cdot 2 \quad G_{kr} = 270 \text{ kN}$$

Zväčenie vertikálnej sily o silu

$$V_z := G_{pr} + G_{kr} \quad V_z = 3180.05 \text{ kN}$$

Tlak zeminy v kľude. Zásyp bude realizovaný zo zemín G3, G1. Objemová tiaž 21 kN/m³, uhol vnútorného trenia minimálne 34 stupňov, c = 0 kPa.

$$K_T := 1 - \sin(34\text{deg}) \quad K_T = 0.441$$

$$h_p := 4.7 \text{ m} \quad \gamma_z := 21 \text{ kN} \cdot \text{m}^{-3}$$

$$F_h := \frac{1}{2} \cdot \gamma_z \cdot h_p^2 \cdot K_T \quad F_h = 102.243 \frac{1}{m} \text{ kN}$$

Celková sila (výpočtová) od tlaku zásypu bude (jej pôsobisko je v 1/3 výšky):

$$F_{hC} := F_h \cdot L_{pr} \quad F_{hC} = 1462.07 \text{ kN} \quad R_h := 1.57 \text{ m}$$

Zväčšenie sily o šikmosť 35 stupňov.

$$F_{ht} := \frac{F_{hc}}{\cos(35\deg)} \quad F_{ht} = 1784.86 \text{kN}$$

Sily pôsobiace na ložiská (kombinácia SLS-Char):

$$F_V := 3018 \text{kN}$$

$$F_x := 460 \text{kN}$$

$$F_y := 39 \text{kN}$$

$$M_x := 2018 \text{kN}\cdot\text{m}$$

$$M_y := 1415 \text{kN}\cdot\text{m}$$

rameno pôsobiacich horizontálnych sôl ku hlavám pilót. $2,35\text{m} + 0,4\text{m} = 2,75 \text{ m}$

$$r_F := 2.75 \text{m}$$

$$M_{x2} := r_F \cdot F_y \quad M_{x2} = 107.25 \text{kN}\cdot\text{m}$$

$$M_{y2} := r_F \cdot F_x \quad M_{y2} = 1265 \text{kN}\cdot\text{m}$$

$$M_{y3} := F_{ht} \cdot R_h \quad M_{y3} = 2802.24 \text{kN}\cdot\text{m}$$

$$F_{x2} := F_{ht} \quad F_{x2} = 1784.86 \text{kN}$$

Výsledné sily:

$$V_U := F_V + V_{zV} \quad V_U = 7152.07 \text{kN}$$

$$M_{XU} := M_x + M_{x2} \quad M_{XU} = 2125.25 \text{kN}\cdot\text{m}$$

$$M_{YU} := M_y + M_{y2} + M_{y3} \quad M_{YU} = 5482.24 \text{kN}\cdot\text{m}$$

$$F_{xU} := F_x + F_{x2} \quad F_{xU} = 2244.86 \text{kN}$$

$$F_{yU} := F_y \quad F_{yU} = 39 \text{kN}$$

1) Kombinácia : Moment

Výpočet zatáženia:

Maximálna reakcia pôsobiaca na pilóty v základovej škáre:

$$V_{de} := 7152 \text{ kN}$$

Výpočet vnútorných síl:

Maximálna zvislá sila pôsobiaca v mieste uloženia nosnej konštrukcie (úroveň hlavy pilót):

$$V_{de} = 7152 \text{ kN}$$

Ohybový moment okolo osi „x (pozdĺžny smer - os mosta)"

$$M_{xD} := -2126 \text{ kN}\cdot\text{m} \quad M_{xD} = -2126 \text{ kN}\cdot\text{m}$$

Ohybový moment okolo osi „y (priečny smer na most)"

$$M_{yD} := 5483 \text{ kN}\cdot\text{m} \quad M_{yD} = 5483 \text{ kN}\cdot\text{m}$$

Excentricity :

$$e_1 := \frac{M_{xD}}{V_{de}} \quad e_1 = -297.3 \text{ mm}$$

$$e_2 := \frac{M_{yD}}{V_{de}} \quad e_2 = 766.6 \text{ mm}$$

Súradnice umiestnenia pilót pod základom:

$$P1: \quad x_{p1} := 3373 \text{ mm} \quad y_{p1} := -4817 \text{ mm}$$

$$P2: \quad x_{p2} := 1443 \text{ mm} \quad y_{p2} := -3775 \text{ mm}$$

$$P3: \quad x_{p3} := 1124 \text{ mm} \quad y_{p3} := -1606 \text{ mm}$$

$$P4: \quad x_{p4} := -806 \text{ mm} \quad y_{p4} := -564 \text{ mm}$$

$$P5: \quad x_{p5} := -1124 \text{ mm} \quad y_{p5} := 1606 \text{ mm}$$

$$P6: \quad x_{p6} := -3054 \text{ mm} \quad y_{p6} := 2647 \text{ mm}$$

$$P7: \quad x_{p7} := -3373 \text{ mm} \quad y_{p7} := 4817 \text{ mm}$$

Prerozdenie pôsobenia vnútorných síl na jednotlivé pilóty:

$$n := 7 \quad \text{počet pilót pod základom}$$

$$\text{SumaX1} := x_{p1}^2 + x_{p2}^2 + x_{p3}^2 + x_{p4}^2 + x_{p5}^2 + x_{p6}^2 + x_{p7}^2$$

$$\text{SumaX1} = 37.34 \text{ m}^2$$

$$\text{SumaX} := \text{SumaX1}$$

$$\text{SumaX} = 37.34 \text{ m}^2$$

$$\text{SumaY1} := y_{p1}^2 + y_{p2}^2 + y_{p3}^2 + y_{p4}^2 + y_{p5}^2 + y_{p6}^2 + y_{p7}^2$$

$$\text{SumaY1} = 73.141 \text{ m}^2$$

$$\text{SumaY} := \text{SumaY1}$$

$$\text{SumaY} = 73.141 \text{ m}^2$$

Jednotlivé sily do pilót sa vypočítajú:

$$P_1 := V_{de} \cdot \left[\left(\frac{1}{n} \right) + \left(e_2 \cdot \frac{x_{p1}}{\text{SumaX}} \right) + \left(e_1 \cdot \frac{y_{p1}}{\text{SumaY}} \right) \right] \quad P_1 = 1657.02 \text{ kN}$$

$$P_2 := V_{de} \cdot \left[\left(\frac{1}{n} \right) + \left(e_2 \cdot \frac{x_{p2}}{\text{SumaX}} \right) + \left(e_1 \cdot \frac{y_{p2}}{\text{SumaY}} \right) \right] \quad P_2 = 1343.33 \text{ kN}$$

$$P_3 := V_{de} \cdot \left[\left(\frac{1}{n} \right) + \left(e_2 \cdot \frac{x_{p3}}{\text{SumaX}} \right) + \left(e_1 \cdot \frac{y_{p3}}{\text{SumaY}} \right) \right] \quad P_3 = 1233.45 \text{ kN}$$

$$P_4 := V_{de} \cdot \left[\left(\frac{1}{n} \right) + \left(e_2 \cdot \frac{x_{p4}}{\text{SumaX}} \right) + \left(e_1 \cdot \frac{y_{p4}}{\text{SumaY}} \right) \right] \quad P_4 = 919.75 \text{ kN}$$

$$P_5 := V_{de} \cdot \left[\left(\frac{1}{n} \right) + \left(e_2 \cdot \frac{x_{p5}}{\text{SumaX}} \right) + \left(e_1 \cdot \frac{y_{p5}}{\text{SumaY}} \right) \right] \quad P_5 = 809.98 \text{ kN}$$

$$P_6 := V_{de} \cdot \left[\left(\frac{1}{n} \right) + \left(e_2 \cdot \frac{x_{p6}}{\text{SumaX}} \right) + \left(e_1 \cdot \frac{y_{p6}}{\text{SumaY}} \right) \right] \quad P_6 = 496.32 \text{ kN}$$

$$P_7 := V_{de} \cdot \left[\left(\frac{1}{n} \right) + \left(e_2 \cdot \frac{x_{p7}}{\text{SumaX}} \right) + \left(e_1 \cdot \frac{y_{p7}}{\text{SumaY}} \right) \right] \quad P_7 = 386.4 \text{ kN}$$

Výstupy z posúdenia pilót GEO5:

Návrhové sily pre posúdenie:

Zvislé sily: $Fz1 = 2019 \text{ kN}$, $Fz2 = 327 \text{ kN}$,

$Fz = 1657 \text{ kN}$ (deformácie II. m.s.),

Horizontálne sily: $Fx = 2940,3 \text{ kN}/7 \text{ pilót}$, $Fx1 = 420,1 \text{ kN}$

$Fy = 59 \text{ kN}/7 \text{ pilót}$, $Fy1 = 8,42 \text{ kN}$

Posouzení piloty

Vstupní data

Projekt

Akce : SO 201
Datum : 10. 7. 2020

Nastavení

(zadané pro aktuální úlohu)

Materiály a normy

Betonové konstrukce :	EN 1992-1-1 (EC2)
Součinitele EN 1992-1-1 :	standardní
Ocelové konstrukce :	EN 1993-1-1 (EC3)
Dílčí součinitel únosnosti ocelového průřezu :	$\gamma_{M0} = 1,00$
Dřevěné konstrukce :	EN 1995-1-1 (EC5)
Dílčí součinitel vlastností dřeva :	$\gamma_M = 1,30$
Součinitel vlivu zatížení a vlhkosti (dřevo) :	$k_{mod} = 0,50$
Součinitel šířky průřezu ve smyku (dřevo) :	$k_{cr} = 0,67$

Piloty

Výpočet pro odvodněné podmínky :	ČSN 73 1002
Zatěžovací křivka :	nelineární (Masopust)
Vodorovná únosnost :	pružný poloprostor
Metodika posouzení :	výpočet podle EN 1997
Návrhový přístup :	2 - redukce zatížení a odpory

Součinitele redukce zatížení (F)			
Trvalá návrhová situace			
		Nepříznivé	Příznivé
Stálé zatížení :	$\gamma_G =$	1,35 [-]	1,00 [-]

Součinitele redukce odporu (R)			
Trvalá návrhová situace			
		$\gamma_s =$	$\gamma_b =$
Součinitel redukce odporu na plášti :		1,10 [-]	
Součinitel redukce odporu na patě :		1,10 [-]	
Součinitel redukce únosnosti tažené piloty :		1,15 [-]	

Základní parametry zemin

Číslo	Název	Vzorek	Φ_{ef} [°]	C_{ef} [kPa]	γ [kN/m ³]	ν [-]
1	1_8_Třída F6, konzistence pevná, Sr > 0,8		19,00	14,00	21,00	0,40
2	2_5_Třída F4, konzistence pevná, Sr > 0,8		24,00	16,00	18,50	0,35
3	3_Třída S5		26,00	4,00	18,50	0,35
4	4_Třída F8, konzistence tuhá		14,00	6,00	20,50	0,42
5	6_9_Třída S5		27,00	6,00	18,50	0,35
6	7_Třída F8, konzistence pevná, Sr > 0,8		15,00	10,00	20,50	0,42

Pro výpočet tlaku v klidu jsou všechny zeminy zadány jako nesoudržné.

Číslo	Název	Vzorek	E_{oed} [MPa]	E_{def} [MPa]	γ_{sat} [kN/m ³]	γ_s [kN/m ³]	n [-]
1	1_8_Třída F6, konzistence pevná, Sr > 0,8		-	7,00	21,30	-	-
2	2_5_Třída F4, konzistence pevná, Sr > 0,8		-	8,00	18,80	-	-
3	3_Třída S5		-	6,00	18,80	-	-
4	4_Třída F8, konzistence tuhá		-	3,00	20,80	-	-
5	6_9_Třída S5		-	10,00	18,80	-	-
6	7_Třída F8, konzistence pevná, Sr > 0,8		-	6,00	20,80	-	-

Parametry zemin pro výpočet modulu reakce podloží

Číslo	Název	Vzorek	Typ zeminy	n_h [MN/m ³]
1	1_8_Třída F6, konzistence pevná, Sr > 0,8		soudržná	-
2	2_5_Třída F4, konzistence pevná, Sr > 0,8		soudržná	-
3	3_Třída S5		nesoudržná	3,00
4	4_Třída F8, konzistence tuhá		soudržná	-
5	6_9_Třída S5		nesoudržná	5,00
6	7_Třída F8, konzistence pevná, Sr > 0,8		soudržná	-

Parametry zemin

1_8_Třída F6, konzistence pevná, Sr > 0,8

Objemová tříha : γ = 21,00 kN/m³
 Úhel vnitřního tření : φ_{ef} = 19,00 °
 Soudržnost zeminy : c_{ef} = 14,00 kPa
 Poissonovo číslo : ν = 0,40
 Modul přetvárnosti : E_{def} = 7,00 MPa
 Obj.tříha sat.zeminy : γ_{sat} = 21,30 kN/m³
 Typ zeminy : soudržná

2_5_Třída F4, konzistence pevná, Sr > 0,8

Objemová tříha : γ = 18,50 kN/m³
 Úhel vnitřního tření : φ_{ef} = 24,00 °
 Soudržnost zeminy : c_{ef} = 16,00 kPa
 Poissonovo číslo : ν = 0,35
 Modul přetvárnosti : E_{def} = 8,00 MPa
 Obj.tříha sat.zeminy : γ_{sat} = 18,80 kN/m³
 Typ zeminy : soudržná

3_Třída S5

Objemová tříha : γ = 18,50 kN/m³
 Úhel vnitřního tření : φ_{ef} = 26,00 °
 Soudržnost zeminy : c_{ef} = 4,00 kPa
 Poissonovo číslo : ν = 0,35
 Modul přetvárnosti : E_{def} = 6,00 MPa
 Obj.tříha sat.zeminy : γ_{sat} = 18,80 kN/m³
 Typ zeminy : nesoudržná
 Modul horiz.stlačitelnosti : n_h = 3,00 MN/m³

4_Třída F8, konzistence tuhá

Objemová tříha : γ = 20,50 kN/m³
 Úhel vnitřního tření : φ_{ef} = 14,00 °
 Soudržnost zeminy : c_{ef} = 6,00 kPa
 Poissonovo číslo : ν = 0,42
 Modul přetvárnosti : E_{def} = 3,00 MPa
 Obj.tříha sat.zeminy : γ_{sat} = 20,80 kN/m³
 Typ zeminy : soudržná

6_9_Třída S5

Objemová tříha : γ = 18,50 kN/m³
 Úhel vnitřního tření : φ_{ef} = 27,00 °
 Soudržnost zeminy : c_{ef} = 6,00 kPa
 Poissonovo číslo : ν = 0,35
 Modul přetvárnosti : E_{def} = 10,00 MPa
 Obj.tříha sat.zeminy : γ_{sat} = 18,80 kN/m³
 Typ zeminy : nesoudržná
 Modul horiz.stlačitelnosti : n_h = 5,00 MN/m³

7_Třída F8, konzistence pevná, Sr > 0,8

Objemová tříha : γ = 20,50 kN/m³
 Úhel vnitřního tření : φ_{ef} = 15,00 °
 Soudržnost zeminy : c_{ef} = 10,00 kPa
 Poissonovo číslo : ν = 0,42
 Modul přetvárnosti : E_{def} = 6,00 MPa
 Obj.tříha sat.zeminy : γ_{sat} = 20,80 kN/m³
 Typ zeminy : soudržná

Geometrie

Profil piloty: kruhová

Rozměry

Průměr $d = 0,88 \text{ m}$

Délka $l = 16,50 \text{ m}$

Spočtené průřezové charakteristiky

Plocha $A = 6,08E-01 \text{ m}^2$

Moment setrvačnosti $I = 2,94E-02 \text{ m}^4$

Umístění

Vysazení $h = 0,00 \text{ m}$

Hloubka upraveného terénu $h_z = 0,00 \text{ m}$

Typ technologie: Vrtané piloty

Modul reakce podloží uvažován podle ČSN 731004.

Materiál konstrukce

Objemová tíha $\gamma = 25,00 \text{ kN/m}^3$

Výpočet betonových konstrukcí proveden podle normy EN 1992-1-1 (EC2).

Beton : C 20/25

Válcová pevnost v tlaku $f_{ck} = 20,00 \text{ MPa}$

Pevnost v tahu $f_{ctm} = 2,20 \text{ MPa}$

Modul pružnosti $E_{cm} = 30000,00 \text{ MPa}$

Modul pružnosti ve smyku $G = 12500,00 \text{ MPa}$

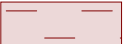
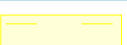
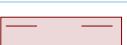
Ocel podélná : B500

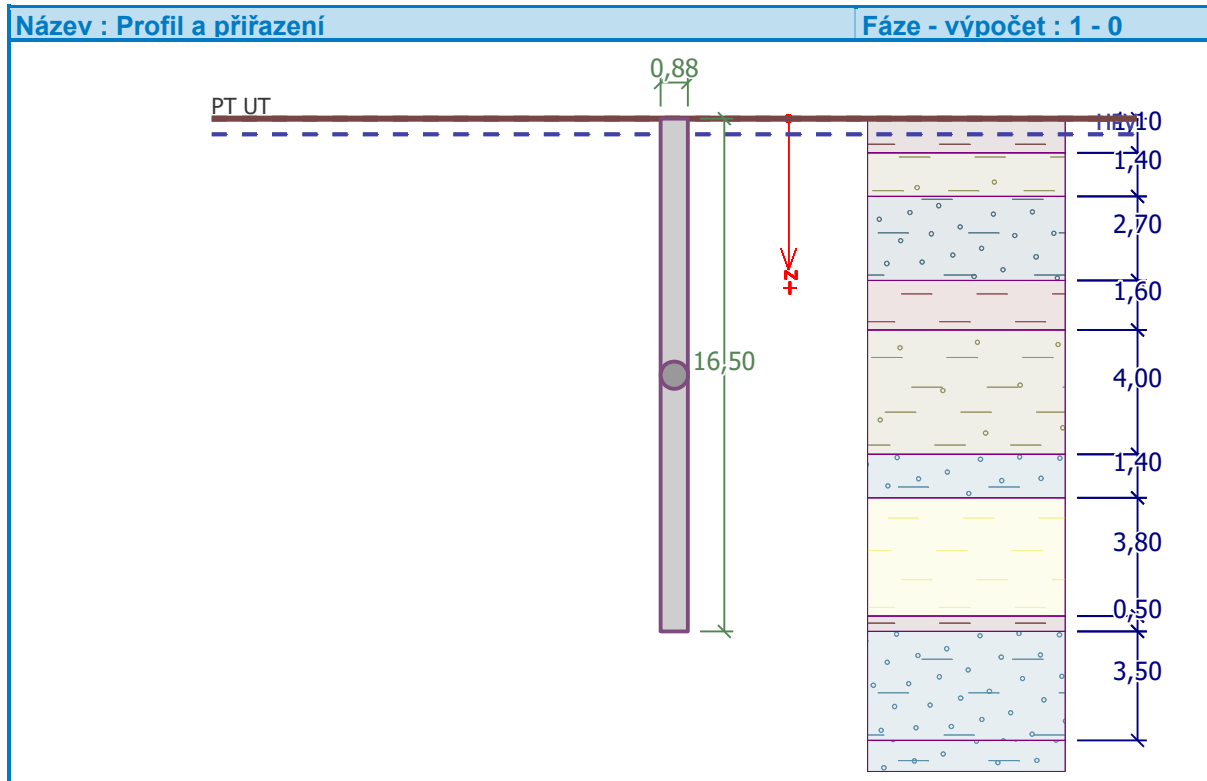
Mez kluzu $f_{yk} = 500,00 \text{ MPa}$

Ocel příčná: B500

Mez kluzu $f_{yk} = 500,00 \text{ MPa}$

Geologický profil a přiřazení zemin

Číslo	Vrstva [m]	Přiřazená zemina	Vzorek
1	1,10	1_8_Třída F6, konzistence pevná, Sr > 0,8	
2	1,40	2_5_Třída F4, konzistence pevná, Sr > 0,8	
3	2,70	3_Třída S5	
4	1,60	4_Třída F8, konzistence tuhá	
5	4,00	2_5_Třída F4, konzistence pevná, Sr > 0,8	
6	1,40	6_9_Třída S5	
7	3,80	7_Třída F8, konzistence pevná, Sr > 0,8	
8	0,50	1_8_Třída F6, konzistence pevná, Sr > 0,8	
9	3,50	6_9_Třída S5	
10	-	6_9_Třída S5	



Zatížení

Číslo	Zatížení nové	Změna	Název	Typ	N [kN]	M _x [kNm]	M _y [kNm]	H _x [kN]	H _y [kN]
1	Ano		Max. síla	Návrhové	2019,00	0,00	0,00	8,42	420,10
2	Ano		Min. síla	Návrhové	327,00	0,00	0,00	8,42	420,10
3	Ano		II. medzný stav	Užitné	1657,00	0,00	0,00	8,42	420,10

Hladina podzemní vody

Hladina podzemní vody je v hloubce 0,50 m od původního terénu.

Celkové nastavení výpočtu

Výpočet svislé únosnosti : analytické řešení

Typ výpočtu : výpočet pro odvodněné podmínky

Nastavení výpočtu fáze

Návrhová situace : trvalá

Metodika posouzení : bez redukce vstupních dat

Posouzení čís. 1

Posouzení svislé únosnosti piloty podle teorie MS - mezivýsledky

Výpočet únosnosti v patě:

Součinitel únosnosti	$N_c = 23,94$
Součinitel únosnosti	$N_d = 13,20$
Součinitel únosnosti	$N_b = 9,32$
Součinitel únosnosti	$K_1 = 1,00$
Výpočtová únosnost na patě piloty	$R_{bd} = 3361,36 \text{ kPa}$
Plocha příčného řezu piloty	$A_p = 6,08E-01 \text{ m}^2$

Únosnost na pláště piloty:

Zkrácení účinné délky piloty $L_p = 1,23$ m

Hloubka [m]	Mocnost [m]	Φ_d [°]	c_{ud} [kPa]	γ [kN/m³]	γ_{R2} [-]	f_s [kPa]	R_{si} [kN]
0,50	0,50	19,00	14,00	21,00	1,00	15,18	19,08
1,10	0,60	19,00	14,00	11,30	1,00	17,12	25,82
2,50	1,40	24,00	16,00	8,80	1,00	22,72	79,95
5,20	2,70	26,00	4,00	8,80	1,00	16,95	114,99
6,80	1,60	14,00	6,00	10,80	1,00	16,19	65,10
10,80	4,00	24,00	16,00	8,80	1,00	41,30	415,22
12,20	1,40	27,00	6,00	8,80	1,00	42,39	149,16
15,27	3,07	15,00	10,00	10,80	1,00	33,76	260,59

Posouzení svislé únosnosti piloty podle teorie MS - výsledky

Výpočet proveden s automatickým výběrem nejnepříznivějších zatěžovacích stavů.

Posouzení tlačené piloty:

Nejnepříznivější zatěžovací stav číslo 1. (Max. síla)

Únosnost piloty na pláště $R_s = 1129,90$ kN

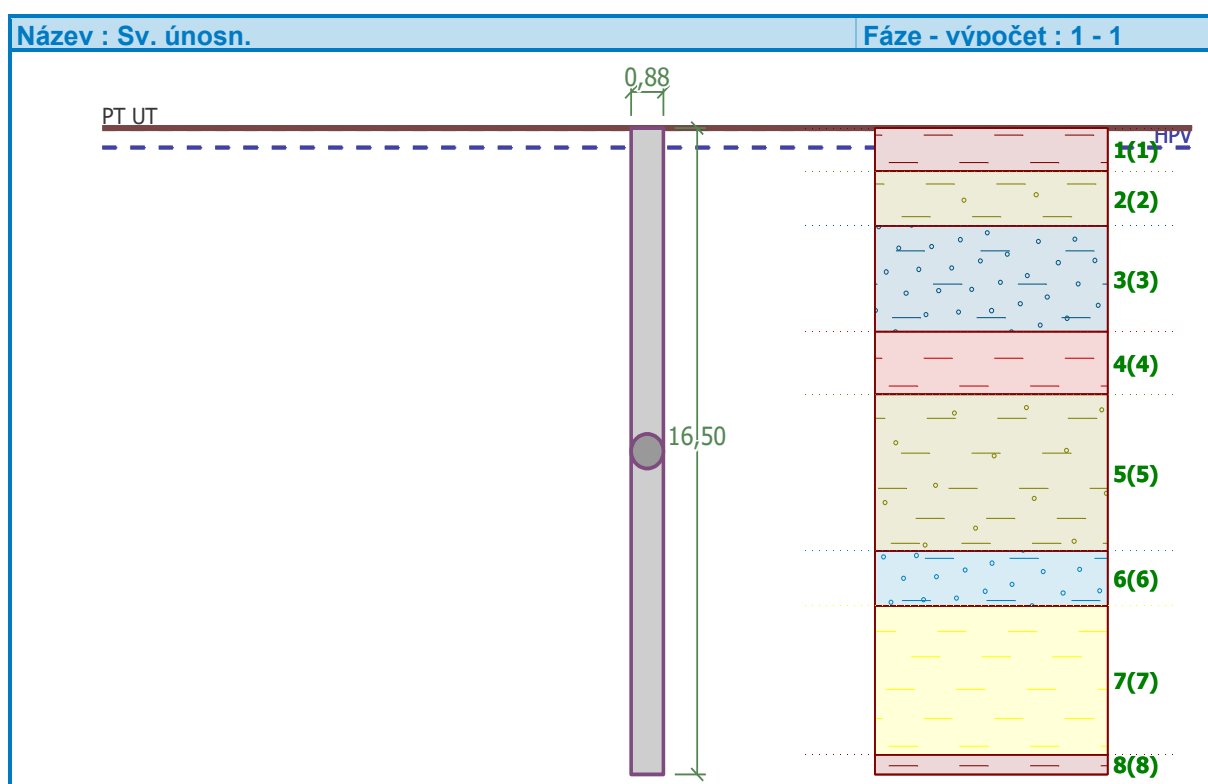
Únosnost piloty v patě $R_b = 1858,57$ kN

Únosnost piloty $R_c = 2988,46$ kN

Extrémní svislá síla $V_d = 2226,32$ kN

$$R_c = 2988,46 \text{ kN} > 2226,32 \text{ kN} = V_d$$

Svislá únosnost piloty VYHOVUJE



Posouzení čís. 1

Výpočet zatěžovací křivky piloty - vstupní data

Vrstv a číslo	Počátek [m]	Konec [m]	Mocnost [m]	E_s [MPa]	Součinitel a	Součinitel b
1	0,00	1,10	1,10	14,00	85,00	100,00
2	1,10	2,50	1,40	16,00	90,00	108,00
3	2,50	5,20	2,70	17,00	62,00	16,00
4	5,20	6,80	1,60	22,00	75,00	60,00
5	6,80	10,80	4,00	45,00	97,00	108,00
6	10,80	12,20	1,40	44,00	91,00	48,00
7	12,20	16,00	3,80	49,00	97,00	108,00
8	16,00	16,50	0,50	40,00	80,00	80,00

Uvažovat zatížení : užitné

Součinitel vlivu ochrany dříku $m_2 = 0,70$

Limitní sedání piloty slim = 25,0 mm

Regresní součinitel e = 700,00

Regresní součinitel f = 750,00

Výpočet zatěžovací křivky piloty - mezivýsledky

Mezní síla na plášti piloty $R_{sy} = 1576,01$ kN

Velikost napětí na patě při R_{sy} $q_0 = 660,00$ kPa

Průměrné plášťové tření $q_s = 70,51$ kPa

Průměrný sečnový modul deformace $E_s = 34,35$ MPa

Součinitel přenosu zatížení do paty $\beta = 0,11$

Přičinkové součinitele sedání :

Základní - závislý na poměru l/d $I_0 = 0,09$

Součinitel vlivu tuhosti piloty $R_k = 1,21$

Součinitel vlivu nestlačitelné vrstvy $R_h = 1,00$

Body zatěžovací křivky

Sednutí [mm]	Zatížení [kN]
0,0	0,00
2,5	1115,91
5,0	1578,14
7,5	1809,84
10,0	1887,79
12,5	1965,73
15,0	2043,67
17,5	2121,62
20,0	2199,56
22,5	2277,50
25,0	2355,45

Výpočet zatěžovací křivky piloty - výsledky

Zatížení na mezi mobilizace plášť.tření $R_{yu} = 1772,71$ kN

Velikost sedání odpovídající síle R_{yu} $s_y = 6,3$ mm

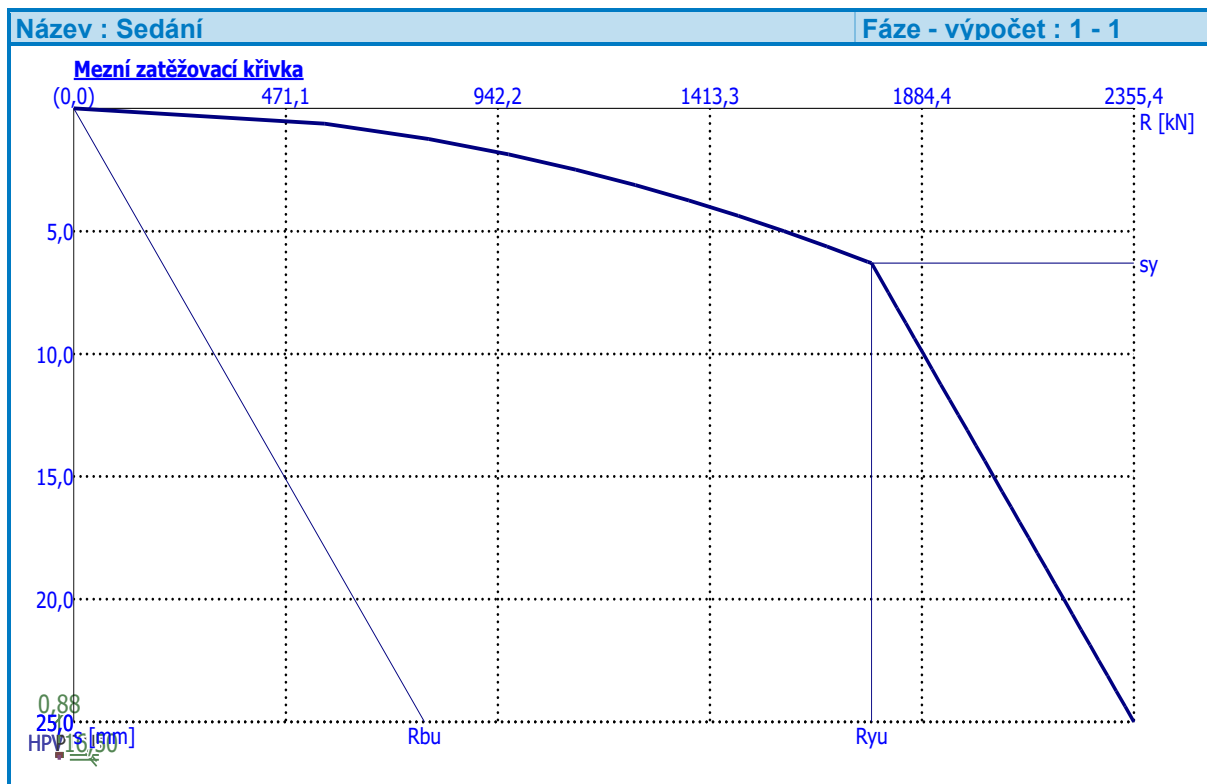
Únosnosti odpovídající sednutí 25,0 mm :

Únosnost paty $R_{bu} = 779,44$ kN

Celková únosnost

$$R_c = 2355,45 \text{ kN}$$

Pro zatížení $Q = 1657,00 \text{ kN}$ je sednutí piloty 5,5 mm



Posouzení čís. 1

Vstupní data pro výpočet vodorovné únosnosti piloty

Výpočet proveden pro zatěžovací stav číslo 1. (Max. síla)

Vodorovná únosnost posouzena ve směru maximálního účinku zatížení.

Průběhy vnitřních sil a deformace piloty

Průběh deformací a vnitřních sil po pilotě - maximální hodnoty:

Vzdál. [m]	Modul k [MN/m ³]	Deformace [mm]	Pootoč. [mRad]	Napětí [kPa]	Pos.síla [kN]	Moment [kNm]
0.00	0.00	28.80	6.11	152.67	420.18	0.00
0.74	5.30	24.29	5.99	128.79	328.24	276.83
1.40	6.06	20.42	5.70	123.76	255.33	469.45
2.23	6.06	15.92	5.18	96.49	175.52	645.78
2.89	9.84	12.67	4.66	124.73	111.35	741.89
3.71	12.66	9.13	3.93	115.49	23.33	796.95
4.54	15.47	6.19	3.19	95.73	53.83	783.37
5.28	2.27	4.06	2.55	24.90	106.76	722.04
6.10	2.27	2.22	1.92	5.05	111.87	631.65
6.80	6.06	1.05	1.45	4.17	114.16	553.03
7.59	6.06	0.09	1.00	0.52	116.35	461.74
8.41	6.06	0.57	0.61	3.47	115.17	366.04
9.24	6.06	0.95	0.32	5.76	111.73	272.33
10.06	6.06	1.12	0.10	6.78	107.11	182.01
10.81	61.41	1.15	0.02	54.68	100.29	104.25
11.63	66.09	1.10	0.08	72.86	48.07	42.93

Vzdál. [m]	Modul k [MN/m ³]	Deformace [mm]	Pootoč. [mRad]	Napětí [kPa]	Pos.síla [kN]	Moment [kNm]
12.37	4.55	1.03	0.11	4.69	12.82	23.60
13.20	4.55	0.93	0.13	4.25	9.57	14.38
14.02	4.55	0.83	0.14	3.76	6.66	7.71
14.85	4.55	0.71	0.14	3.24	4.12	3.29
15.67	4.55	0.60	0.14	2.71	1.96	0.81
16.42	5.30	0.49	0.14	2.60	0.19	0.01
16.50	5.30	0.48	0.14	2.54	0.00	0.00

Průběh deformací a vnitřních sil po pilotě - minimální hodnoty:

Vzdál. [m]	Modul k [MN/m ³]	Deformace [mm]	Pootoč. [mRad]	Napětí [kPa]	Pos.síla [kN]	Moment [kNm]
0.00	0.00	-28.79	-6.11	-152.70	-420.10	-0.00
0.74	5.30	-24.29	-5.99	-128.81	-328.17	-276.89
1.40	6.06	-20.42	-5.70	-123.78	-255.28	-469.55
2.23	6.06	-15.92	-5.18	-96.51	-175.49	-645.91
2.89	9.84	-12.67	-4.66	-124.76	-111.33	-742.04
3.71	12.66	-9.12	-3.93	-115.51	-23.32	-797.11
4.54	15.47	-6.19	-3.19	-95.75	-53.84	-783.53
5.28	2.27	-4.06	-2.55	-24.91	-106.78	-722.19
6.10	2.27	-2.22	-1.92	-5.05	-111.89	-631.78
6.80	6.06	-1.05	-1.45	-4.18	-114.18	-553.14
7.59	6.06	-0.09	-1.00	-0.53	-116.38	-461.83
8.41	6.06	-0.57	-0.61	-3.47	-115.19	-366.11
9.24	6.06	-0.95	-0.32	-5.76	-111.75	-272.39
10.06	6.06	-1.12	-0.10	-6.77	-107.13	-182.05
10.81	61.41	-1.15	-0.02	-54.67	-100.31	-104.27
11.63	66.09	-1.10	-0.08	-72.84	-48.08	-42.94
12.37	4.55	-1.03	-0.11	-4.69	-12.82	-23.60
13.20	4.55	-0.93	-0.13	-4.25	-9.57	-14.39
14.02	4.55	-0.83	-0.14	-3.76	-6.66	-7.71
14.85	4.55	-0.71	-0.14	-3.24	-4.12	-3.29
15.67	4.55	-0.60	-0.14	-2.71	-1.96	-0.81
16.42	5.30	-0.49	-0.14	-2.60	-0.19	-0.01
16.50	5.30	-0.48	-0.14	-2.54	-0.00	-0.00

Maximální vnitřní síly a deformace:

Max.deformace piloty = 28,8 mm

Max.posouvající síla = 420,18 kN

Maximální moment = 799,81 kNm

Posouzení na tlak a ohyb

Vyztužení - 16 ks profil 22,0 mm; krytí 140,0 mm

Typ konstrukce (stupně vyztužení) : pilota

Stupeň vyztužení $\rho = 1,000 \% > 0,411 \% = \rho_{min}$

Zatížení : $N_{Ed} = -2019,00 \text{ kN}$ (tlak) ; $M_{Ed} = 799,81 \text{ kNm}$

Únosnost : $N_{Rd} = -2616,88 \text{ kN}$; $M_{Rd} = 1036,66 \text{ kNm}$

Navržená výzvuž piloty VYHOVUJE

Posouzení na smyk

Smyková výzvuž - profil 10,0 mm; vzdálenost 200,0 mm

Posouvající síla na mezi únosnosti: $V_{Rd} = 540,90 \text{ kN} > 420,18 \text{ kN} = V_{Ed}$

Průřez VYHOVUJE.

Zakladanie objektu vyhovuje všetkým zaťažovacím podmienkam.